


TEORIA GRUP I

WYKŁADY XI, XII ; XIII

(RUDYMENTY KRYSTALOGRAFII)

2023/24



NIEZBĘDNIK EUKLIDESOWY :

PRZEDMIOTEM NASZYCH ROZWAŻAŃ
BĘDĄ PEWNE DYSKRETNIE PODZBIORY

\mathbb{R}^n (OGRAŃCZYMY SIĘ DO $n \in \{2, 3\}$)

O WYSOKEJ REGULARNOŚCI PRZEJAWIAJĄCEJ

SIĘ W POWTARZALNOŚCI STRUKTURY

ELEMENTARNEJ W n SKALACH

LINIOWYCH W n LINIOWO NIEZALEŻNYCH

KIERUNKACH O USTALONYCH WZGLĘDNYCH

WZGLĘDNYCH. „SKALE” I „KĄTY”

TO POJĘCIA Z ZAKRESU ELEMENTARNEJ

GEOMETRII METRYCZNEJ \mathbb{R}^n , KTÓRĄ

TERAZ PRZYPOMNIAMY W KONIECZNYM
ZAKRESIE.

①

BĘDZIEMY OTOJ ROZWAJAC ZBIOR
 $\mathbb{R}^{x^n} \equiv \mathbb{R}^{x^n}$ (PODKREŚLENIE DLA ODDZIWIENIA OD PRZESTRZENI WEKT. \mathbb{R}^{x^n})
 \mathbb{R}^{x^n} METRYKĄ ZAMDKOWANĄ

Z EUKLIDESOWEJ STRUKTURY HERMITOWSKIEJ
NA PRZESTRZENI \mathbb{R} -LINIOWEJ \mathbb{R}^{x^n} WEDLE

SCHEMATU :
 $d : \mathbb{R}^{x^n} \times \mathbb{R}^{x^n} \rightarrow \mathbb{R}_{\geq 0}$ $\sqrt{(x-y | x-y)}_E$
|||

$$(x, y) \mapsto \sqrt{(x-y)^T \cdot (x-y)},$$

Def! : PARĘ $(\mathbb{R}^{x^n}, d) =: \mathcal{E}_n$

JAK WIĘCZ OKREŚLAMY MIANEM

EUKLIDESOWEJ PRZESTRZENI METRYCZNEJ.

AUTOMORFIZMY TAK OKREŚLONEJ STRUKTURY
OPISUJĄ

(2)

Def-2: Bijekcję $F \in \mathcal{O}_{\mathbb{R}^n}$ określamy
mianem IZOMETRII, ilekroć

$$\forall x, y \in \mathbb{R}^n : d(F(x), F(y)) = d(x, y).$$

ZBIÓR WSZYSTKICH IZOMETRII E_n OZNACZAMY JAKO
MAMY ODPWIEDZIE $\text{Isom}(E_n)$.

Sw. 1. DOWOLNE ODWJAZDOWANIE AFINICZNE

$$\mathbb{R}^n \ni x \mapsto Ax + b \in \mathbb{R}^n$$

O SUŁADOWEJ TRANSLACYJNEJ

$$\mathbb{R}^n \ni x \mapsto x + b \in \mathbb{R}^n, b \in \mathbb{R}^n$$

i LINIOWEJ

$$\mathbb{R}^n \ni x \mapsto Ax \in \mathbb{R}^n, A \in \mathbb{R}(n)$$

DANEJ PRZEZ $A \in \mathcal{O}(n; \mathbb{R})$ JEST IZOMETRIA.

$$\Leftarrow \{M \in \mathbb{R}(n) \mid M^T M = I_n = M M^T\} \text{ (3)}$$

OKAZUJE SIĘ, ŻE STUSZNE JEST TEŻ
"ODWROTNE"

Tw. 1. [MAZURA-ULANA, WERSJA DLA E_n]

$$\forall F \in \text{Isom}(E_n) \exists (A, b) \in O(n; \mathbb{R}) \times \mathbb{R}^{x^n}:$$

$$\forall x \in \mathbb{R}^{x^n}: F(x) = Ax + b =: \tau_b \circ A(x),$$

$$\text{tj. } \boxed{F = \tau_b \circ A}.$$

ODWZOROWANIA TEJ POSTACI, OKREŚLANE MIANEM
RUCHÓW EUKLIDESOWYCH, TWORZĄ GRUPĘ,
KTÓRĄ OZNACZAMY JAKO $E(n)$, PRZY CZYM
 $E(n) = \mathbb{R}^{x^n} \rtimes_{\text{id}_{O(n; \mathbb{R})}} O(n; \mathbb{R})$. IZOMETRIE
Z $SE(n) = \mathbb{R}^{x^n} \rtimes_{\text{id}_{O(n; \mathbb{R})}} SO(n; \mathbb{R})$ NAZYWAMY
WŁAŚCIWYMI, POZOSTAŁE ZAŚ - NIEWŁAŚCIWYMI. (4)

D: ZACZNIEMY OD

LEMAT 1. NIECHAJ $F \in \text{Tran}(E_n)$

i NIECH Λ BĘDZIE PROSTĄ W \mathbb{R}^{x^n} .

WOWCJAS TAKŻE $F(\Lambda)$ JEST PROSTĄ.

DŁ 1: TYM, CO CHARAKTERYZUJE PROSTĄ,
JEST WYSYCANIE NIERÓWNOŚCI TRÓJKĄTA

$$d(x_1, x_3) \leq d(x_1, x_2) + d(x_2, x_3)$$

PRZEZ DOWOLNĄ TRÓJKE PUNKTÓW: x_1, x_2

i x_3 NA NIEJ. ZAŁOŻMY PRZEJD, JS

$x_1, x_2, x_3 \in \Lambda$ i $d(x_1, x_3) = d(x_1, x_2) + d(x_2, x_3)$.

WOWCJAS $d(F(x_1), F(x_3)) = d(x_1, x_3)$

$= d(x_1, x_2) + d(x_2, x_3) = d(F(x_1), F(x_2)) + d(F(x_2), F(x_3))$,

TJ. $F(x_1), F(x_2)$ i $F(x_3)$ SĄ WSPÓLNIOWE. (5)

□

NASTĘPNIE DOWODZIMY

LEMAT 2. NIECHAJ $F \in \text{Tran}(E_n)$. ZACHODZI

$$F(0) = 0 \implies F \in \text{End}_{\mathbb{R}}(\mathbb{R}^{x_n}).$$

DLZ: JEDNORODNOŚĆ:

1° $x = 0 \implies F(\lambda \triangleright x) = F(0) = 0 \equiv \lambda \triangleright x \quad \checkmark$

2° $x \neq 0 \implies F(x) \neq 0$: MAMY

$$\begin{aligned} \|x\| &\equiv d(x, 0) = d(F(x), F(0)) = d(F(x), 0) \\ &\equiv \|F(x)\|. \end{aligned}$$

ZAUWAŻMY, JE LEMAT 1. IMPLIKUJE

$$F(\langle x \rangle_{\mathbb{R}}) = \langle F(x) \rangle_{\mathbb{R}}, \text{ A NADTO -}$$

GDY OZNACZYĆ $x_1 = 0, x_2 = x, x_3 = \lambda \triangleright x,$

TO JEST JASNE, JE x_3 JEST JEDYNYM

PUNKTEM $\langle x \rangle_{\mathbb{R}}$ ODLEGŁYM $o |\lambda| \cdot \|x\|$

OD $x_1 \downarrow 0$ $|\lambda| \cdot \|x\|$ OD x_2 .

(6)

ANALOGICZNIE $\lambda \circ F(x)$ JEST JEDYNYM
 PUNKTEM NA $F(\langle x \rangle_{\mathbb{R}}) = \langle F(x) \rangle_{\mathbb{R}}$
 ODLEGŁYM O $|\lambda| \cdot \|F(x)\| = |\lambda| \cdot \|x\|$ OD $0 = F(0)$
 I O $|\lambda - 1| \cdot \|F(x)\| = |\lambda - 1| \cdot \|x\|$ OD $F(x)$.

ALE $d(F(\lambda \circ x), 0) = d(F(\lambda \circ x), F(0)) = d(\lambda \circ x, 0)$
 TEŻ $\equiv |\lambda| \cdot \|x\|$

ORAZ $d(F(\lambda \circ x), F(x)) = d(\lambda \circ x, x) \equiv |\lambda - 1| \cdot \|x\|$,

ZATEM $F(\lambda \circ x) = \lambda \circ F(x)$.

ADDYTYWNOŚĆ: NIECHAJ $x_1, x_2 \in \mathbb{R}^{x_n}$. Z RAUJI
 IZOMETRYCZNOŚCI F , PUNKT $\frac{1}{2}(x_1 + x_2) =: x_s$
 JEST ODWZOROWKIANY PRZEZ F W ŚRODEK
 ODCINKA $[F(x_1), F(x_2)]$ PROSTOJ $F(\langle x_2 - x_1 \rangle_{\mathbb{R}})$
 ISTOTNIE, $d(F(x_s), F(x_A)) = d(x_s, x_A)$, $A \in \{1, 2\}$.

$$\frac{1}{2} d(F(x_1), F(x_2)) = \frac{1}{2} d(x_1, x_2) \quad (7)$$

W TAKIM RAZIE

$$F\left(\frac{1}{2}(x_1+x_2)\right) = \frac{1}{2}(F(x_1)+F(x_2))$$

JEDNORODNOŚĆ $\frac{1}{2} F(x_1+x_2)$

$$\Downarrow$$
$$F(x_1+x_2) = F(x_1) + F(x_2). \quad \square$$

NIECHAJ TERAZ $F \in \text{Isom}(\mathbb{R}^n)$, A WTEDY
DLA $G := \tau_{-F(0)} \circ F$ SPRAWDZAMY TOŻSAMOŚĆ

$$G(0) = \tau_{-F(0)}(F(0)) = F(0) - F(0) = 0,$$

WIĘC NA MOCY LEMATU 2. $G \in \text{End}_{\mathbb{R}}(\mathbb{R}^m)$.

W TAKIM JEDNAK RAZIE $F = \tau_{F(0)} \circ G$
JEST, ZGODNIE Z TEZĄ, AFINIĆZNE. PRZY TYM
 $\forall x, y \in \mathbb{R}^m : d(x, y) = d(F(x), F(y)) = d(G(x), G(y))$ (8)

IMPLIKUJE JUŻ WPROST $G \in O(n; \mathbb{R})$.

MAMY PRZY TYM PROSTE PRAWO
ŚWIADANIA ODWZGLĘDNIENIA POWYŻSZEJ

POSTACI :

$$(\tau_{b_1} \circ G_1) \circ (\tau_{b_2} \circ G_2)(x)$$

$$= (\epsilon_{b_1} \circ G_1)(G_2 x + b_2)$$

$$= G_1 G_2 x + G_1 b_2 + b_1,$$

$$\text{tj. } (b_1, G_1) \cdot (b_2, G_2) = (b_1 + G_1 b_2, G_1 G_2)$$

CO ODTWARZA POSTULOWANĄ STRUKTURĘ
ILOZYNIU PODPROSTEGO NA $E(n)$.

□ (9)

W DALSZEJ CZĘŚCI NASZYCH ROZWAŻAŃ
PODDAMY POWYŻSZY DOŚĆ ZGRUBNY
OPIS DALSZEJ RAFINACJI I STRUKTURYZACJI.
W TYM CELU ROZWAŻYMY NAJPIERW

Stw. 2. $\forall n \in \mathbb{N} \setminus \{1\} \forall A \in O(n; \mathbb{R}) \exists v \in \mathbb{R}^n \setminus \{0\}$:
 $Av = \varepsilon v, \varepsilon \in \{\pm 1\}$, ZATEM $A \langle v \rangle_{\mathbb{R}} = \langle v \rangle_{\mathbb{R}}$,
PRZY CZYM MOŻNA DOBRAĆ v TAK, BY
ZACHODZIŁO $A|_{\langle v \rangle_{\mathbb{R}}} = \det_{(v)} A \cdot \text{id}_{\langle v \rangle_{\mathbb{R}}}$, A WTEDY
DLA $\det_{(v)} A = 1$ PROSTĄ $\langle v \rangle_{\mathbb{R}}$ O TEJ WŁASNOŚCI
NAZYWAMY OSIĄ OBROTU A .

D: WIELOMIAN CHARAKTERYSTYCZNY A JEST
 $\chi_A \in \mathbb{R}_n[\cdot]$, ZATEM NA CO NAJMNIEJ
JEDEN PIERWIĄSTEK RZECZYWISTY, tj.
 $S_p A \cap \mathbb{R} \neq \emptyset$, (10)

A PONIEWAŻ $\lambda \in \text{Sp} A \cap \mathbb{R}$ i $v \in V(\lambda; A)$
SPĘDNIĄC

$$|\lambda| \cdot \|v\| = \|Av\| = \|v\| \Leftrightarrow A \in O(n; \mathbb{R}),$$

PRZETO $\lambda \in \{\pm 1\}$. TO KONIECZNY DOWÓD
PIERWSZEJ CZĘŚCI TEZY.

ZACIĄGAMY DALEJ, ŻE SKORO $A^T A = I_n$,

TO $\det_{(n)} A \in \{\pm 1\}$.

1° $\det_{(n)} A = 1$ (OBROT)

ISTNIENIE $v \in \mathbb{R}^{k \times n} \setminus \{0\}$: $Av = v$ JEST RÓWNO-
ZNA CZNE Z NIEODWRACALNOŚCIĄ $A - I_n$, A TO

$\Leftrightarrow \det_{(n)}(A - I) = 0$. ZAKŁADZMI WSKAZUJE

$$\det_{(n)}(A - I) = \det_{(n)}(A^T - I^T) = \det_{(n)}(A^{-1} - I)$$

$$= \det_{(n)}(A^{-1}(I - A)) = \frac{1}{\det_{(n)} A} \cdot \det_{(n)}(I - A)$$

$$= \det_{(n)}((-1)(A-1)) = (-1)^n \det_{(n)}(A-1)$$

$$= -\det_{(n)}(A-1) \Rightarrow \det_{(n)}(A-1) = 0 \quad \square$$

$$2^\circ \det_{(n)} A = -1$$

JSTNIENIE $v \in \mathbb{R}^{2n} \setminus \{0\}$: $Av = -v$ JEST RÓWNO-
WALNE Z NIEODWRACALNOŚCIĄ $A + I_n$, A TO

$\Leftrightarrow \det_{(n)}(A+1) = 0$. ZACHODZI WSZAKIŻE

$$\det_{(n)}(A+1) = \det_{(n)}(A^T + I^T) = \det_{(n)}(A^T + 1)$$

$$= \det_{(n)}(A^{-1}(1+A)) = \frac{1}{\det_{(n)} A} \cdot \det_{(n)}(A+1)$$

$$= -\det_{(n)}(A+1) \Rightarrow \det_{(n)}(A+1) = 0 \quad \square$$

To kończy dowód.

□

SKUPINY OBECNIE UWAGĘ NA $n=2+1=3$.
 WARTO ODNOTOWAĆ, ŻE PŁYCYZNA $\langle v \rangle_{\mathbb{R}}^{\perp(1)}_E$
 (ORTOGONALNA DO $\langle v \rangle_{\mathbb{R}}$) TAKŻE JEST
 ZACHOWYWANA PRZEZ A , OTO BOWIEM

$\forall x \in \langle v \rangle_{\mathbb{R}}^{\perp(1)}_E$:

$$0 = (v | x)_E = (Av | Ax)_E = \det_{(3)} A \cdot (v | Ax)_E.$$

SKORO JEDNAK TAKI, TO W BAZIE

$B := \{v, v_1, v_2\}$, GDZIE $v \perp w$,

$A \langle v_1, v_2 \rangle_{\mathbb{R}} \equiv \langle v \rangle_{\mathbb{R}}^{\perp(1)}_E$, DOSTAJEMY

$$[A]_B = \begin{pmatrix} a & b & 0 \\ c & d & 0 \\ 0 & 0 & \det_{(3)} A \end{pmatrix}, \text{ GDZIE}$$

$$d := \begin{pmatrix} a & b \\ c & d \end{pmatrix} \in \text{SO}(2; \mathbb{R}), \text{ UŻYLI}$$

$$d^T d = I_2 \quad \wedge \quad \det_{(2)} d = 1 \quad (13)$$

PIERWSZY Z TYCH WARUNKÓW PRZEPISUJE SIĘ
W POSTACI KONIUNKCJI

$$\begin{cases} a^2 + c^2 = 1 \\ b^2 + d^2 = 1 \\ ab + cd = 0 \end{cases} \Rightarrow \exists \varphi \in [0, 2\pi[: \begin{cases} a = \cos \varphi \\ c = \sin \varphi \end{cases}$$

KÓREJ ROZWIĄZANIA

1° $a \neq 0 \Rightarrow b = -\frac{c}{a}d$, więc

$$\left(\frac{c^2}{a^2} + 1\right) d^2 = 1$$

$$\underline{\underline{\frac{d^2}{a^2}}} \Leftrightarrow \begin{cases} d = \pm a = \pm \cos \varphi \\ b = \mp c = \mp \sin \varphi \end{cases}$$

2° $c \neq 0 \Rightarrow d = -\frac{a}{c}b$, więc

$$b^2 \left(1 + \frac{a^2}{c^2}\right) = 1 \Leftrightarrow \begin{cases} b = \pm c \\ d = \mp a \end{cases}$$

MOŻNA ZAPISAC W JEDNEJ Z DWÓCH POSTACI: (14)

$$\alpha = \begin{pmatrix} \cos \varphi & -\sin \varphi \\ \sin \varphi & \cos \varphi \end{pmatrix}$$

$$\stackrel{\vee}{\alpha} = \begin{pmatrix} \cos \varphi & \sin \varphi \\ \sin \varphi & -\cos \varphi \end{pmatrix}$$

$$\equiv \begin{pmatrix} \cos \varphi & -\sin \varphi \\ \sin \varphi & \cos \varphi \end{pmatrix} \begin{pmatrix} 1 & 0 \\ 0 & -1 \end{pmatrix}.$$

JAKO ŻE $\det(\alpha) = \begin{vmatrix} \cos \varphi & -\sin \varphi \\ \sin \varphi & \cos \varphi \end{vmatrix} = 1$

$\det(\alpha) = \begin{vmatrix} 1 & 0 \\ 0 & -1 \end{vmatrix} = -1$, PRZETO

PO UWZGLĘDNIENIU DRUGIEGO Z WARUNKÓW

NA α ZOSTAJEMY Z $\alpha = \begin{pmatrix} \cos \varphi & -\sin \varphi \\ \sin \varphi & \cos \varphi \end{pmatrix}$.

OSTATECZNIE ZATEM OTRZYMUJEMY DWIE
NIEODWODNIAJĄCE ZREDUKOWANE POSTACI
„KANONICZNE” IZOMETRII ZACHOWUJĄCEJ 0 (!):

TYP I: OBRÓT WZGLĘDEM OSI (TUŻAJ: x^3)

$$[A]_B = \begin{pmatrix} \cos \varphi & -\sin \varphi & 0 \\ \sin \varphi & \cos \varphi & 0 \\ 0 & 0 & +1 \end{pmatrix} =: R_+(\varphi)$$

TYP II: OBRÓT J/W POŁĄCZONY Z ODBICIEM
LWISTRZANYM W PŁASZCZYŹNIE PROSTOPADŁEJ DO OSI

$$[A]_B = \begin{pmatrix} \cos \varphi & -\sin \varphi & 0 \\ \sin \varphi & \cos \varphi & 0 \\ 0 & 0 & -1 \end{pmatrix} =: R_-(\varphi)$$

NA GRUNCIE POWYŻSZEJ REDUKCJI DOKONYWAMY
OBECNIE ANALOGICZNEJ REDUKCJI DOKONYWANEJ (16)
IZOMETRII...

3 POŁĄCZENIA Tw. 1. i POWYŻSZYCH
 ROZWAŻAŃ WYŁANIA SĄ ALTERNATYWA
 (WYMAGAJĄCA, RZECY JASNA, ADAPTACJI UKŁADU
 WSPÓŁRZĘDNYCH, REPREZENTOWANEJ PRZEZ WYBÓR BAZY B):

$$F_{(B)} = \tau_b \circ R_+(\varphi) \quad (+) \quad \downarrow \text{ZNAJDUJĄCY TO INDEKSY (B)}$$

$\underbrace{\hspace{10em}}_{\vee}$

$$F_{(B)} = \tau_b \circ R_-(\varphi) \quad (-)$$

PRZYJĄDZAMY SIĘ NAJSAMPIERW DRUGIEMU
 JEJ UKŁADOWI...

Scw. 3. DLA KAŻDEJ IZOMETRII $F \in \text{Isom}(E_3)$

POSTACI $F_{(B)} = \tau_b \circ R_-(\varphi)$ ^{$\varphi \neq 0 (!)$} ISTNIEJE UKŁAD

WSPÓŁRZĘDNYCH W \mathbb{R}^3 , POWIĄZANY
 Z WYJŚCIOWYM (TYM, W KTÓRYM F PRZYJMUJE (17))

DANĄ POSTAĆ AFINIJNĄ) PRZEZ TRANSLACJĘ
O STAŁY WEKTOR, W KTÓRYM
$$F_{(B')} = R_-(\varphi).$$

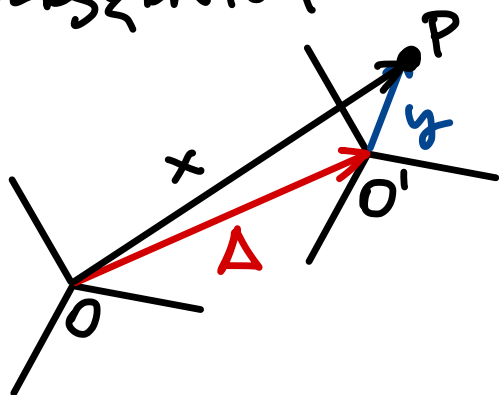
(INNYMI SŁOWY, POPRZEZ STOSOWNY WYBÓR UKŁADU
WSPÓŁRZĘDNYCH (PUNKTU „0” I KIERUNKÓW OŃ)
MOŻNA DOWOLNĄ IZOMETRIĘ O NIEWŁAŚCIWEJ
SKŁADOWEJ LINIOWEJ (Z. $\{O(3; \mathbb{R})\} \cup SO(3; \mathbb{R})$)
SPROWADZIĆ DO POSTACI LINIOWEJ, W KTÓREJ
JEST ONA DANA JAKO NIEWŁAŚCIWE ODWZROBIANIE
ORTOGONALNE.)

D: ROZWAŻMY POSTAĆ F W UKŁADZIE
WSPÓŁRZĘDNYCH OTRZYMANYM Z B
PRZEZ TRANSLACJĘ PUNKTU „0” O WEKTOR
KTÓRY W TYMŻE B MA REPREZENTACJĘ (18)

Δ , czyli we współrzędnych

$$y = x - \Delta, \quad ;$$

$$\tau: x = \tau_{\Delta}(y)$$



ODWZOROWANIE

$$x \mapsto R_{-}(\varphi)x + b \equiv F_{(B)}(x)$$

PRZEPISUJEMY W POSTACI

$$F_{(B')} (y) \equiv \tau_{\Delta}^{-1} \circ F_{(B)} \circ \tau_{\Delta} (y)$$

$$\begin{aligned} \uparrow \\ y &\equiv F_{(B)}(y + \Delta) - \Delta \\ &= R_{-}(\varphi)y + \underbrace{(R_{-}(\varphi) - I)\Delta + b}_{b'} \end{aligned}$$

Postulujemy: $\exists \Delta: b' = 0$. (19)

ISTOTNIE,

$$\det_{(3)}(R_-(\varphi) - I) = \det_{(3)} \begin{pmatrix} \cos\varphi - 1 & -\sin\varphi & 0 \\ \sin\varphi & \cos\varphi - 1 & 0 \\ 0 & 0 & -2 \end{pmatrix}$$

$$= -2 (\cos^2\varphi - 2\cos\varphi + 1 + \sin^2\varphi)$$

$$= -4 (1 - \cos\varphi), \text{ JEŚLI ZATEM } \varphi \neq 0$$

(CZYLI OBROT NIE JEST TRYWIALNY), TO

RÓWNANIE MACIERZOWE

$$(R_-(\varphi) - I)\Delta = -b$$

MA DOKŁADNIE JEDNO ROZWIĄZANIE.



WYNIK ANALOGICZNEJ REDUKCJI
DLA PRZYPADKU (+) ZAWIERA

Scw. 4. DLA KAŻDEJ IZOMETRII $F \in \text{Isom}(\mathbb{E}_3)$

POSTACI $F_{(B)} = \tau_b \circ R_+(\varphi)$ ^{$\varphi \neq 0(!)$} ISTNIEJE UKŁAD

WSPÓŁRZĘDNYCH W \mathbb{R}^3 , POWIĄZANY

Z WIJŚCIOWYM (TYM, W KTÓRYM F PRZYJMUJE

DANĄ POSTAĆ AFINIJNĄ) PRZEZ TRANSLACJĘ

O STAŁY WEKTOR, W WIDOKU

$$F_{(B')} = \tau_{(0,0,\xi)} \circ R_+(\varphi) \quad (*)$$

(INNYMI SŁOWY, POPRZEZ STOSOWNY WYBÓR UKŁADU

WSPÓŁRZĘDNYCH (PUNKTU „0” I KIERUNKÓW OŃ)

MOJNA DOWOLNĄ IZOMETRIĘ O WŁAŚCIWEJ

SKŁADOWEJ LINIOWEJ (t.j. $SO(3; \mathbb{R})$) SPROWADZIĆ

DO POSTACI LINIOWEJ, W KTÓREJ JEST ONA DANA

JAKO PRZEKSZTAŁCENIE ŚRUBOWE (*).

D: DOKONUJĄC TRANSFORMACJI
WSPÓŁRZĘDNIOWEJ JAK UPRZĘDNIÓ,
DOSTAJEMY - DLA $y = \tau_{-\Delta}(x)$ -

$$F_{(B')} (y) = R_+(\varphi) y + \underbrace{(R_+(\varphi) - I)\Delta + b}$$

PRZY CZYM TYM RAZEM b'

$$R_+(\varphi) - I = \begin{pmatrix} \cos\varphi - 1 & -\sin\varphi & 0 \\ \sin\varphi & \cos\varphi - 1 & 0 \\ 0 & 0 & 0 \end{pmatrix},$$

WIĘC NIE JESTEŚMY W STANIE WYZEROWAĆ

b' . PONIEWAŻ JEONAK

$$\det_{(2)} \begin{pmatrix} \cos\varphi - 1 & -\sin\varphi \\ \sin\varphi & \cos\varphi - 1 \end{pmatrix} = 2(1 - \cos\varphi) \neq 0,$$

WIĘC ARGUMENTUJĄC JAK UPRZĘDNIÓ MOŻEMY
WYZEROWAĆ DWE PIERWISZE SKŁADNE b' . \square (22)

NASZE ROZWAŻANIA PODSUMOWUJE

g.Th. 2. DOWOLNA IZOMETRIA WŁAŚCIWA \mathcal{E}_3 JEST PRZEWSZTACENIEM ŚRUBONYM, DOWOLNA ZAŚ IZOMETRIA NIEWŁAŚCIWA \mathcal{E}_3 JEST ODWZOROWANIEM ORTOGONALNYM NIEWŁAŚCIWYM.

x

OSTATNIM ELEMENTEM GEOMETRII EUKLIDESOWEJ, KTÓREJ BĘDZIEMY POTRZEBOWAĆ W NASZYCH DALSZYCH ROZWAŻANIACH, JEST PEWIEN ZABAWNY FAKT TRYGNOMETRYCZNY, O KTÓRYM MOWI

TW. 3. [NIVENA]

$$\forall x \in \mathbb{R} : \frac{x}{\pi} \in \mathbb{Q} \wedge \cos(x) \in \mathbb{Q}$$

\Downarrow

$$\cos(x) \in \{0, \pm \frac{1}{2}, \pm 1\}.$$

D: ZACZNIJMY OD ZAUWAŻENIA, ŻE POWYŻSZE
WARTOŚCI $\cos(x)$ WYROBNIĄ JEDNOZNACZNIE
TOŻSAMOŚĆ $2\cos(x) \in \mathbb{Z}$.

JEDNOZNACZNIE $\cos(x) \in \mathbb{Q} \Leftrightarrow 2\cos(x) \in \mathbb{Q}$.

TO ODPOWIADA - NA GRUNCIE
INTUICJI WYROBIONEJ W ROZWAŻANIACH
ZE STR. 45-46 WYKŁADÓW VIII, IX i X -
WYBÓR KIERUNKU DAJSZEGO

(24)

ROZUMOWANIA: JEŚLI TYLKO WSKAŻEMY
WIELOMIAN O WSPÓŁCZYNNIKU PRZY NAJWYŻSZEJ
POTĘDZE $= 1$ I WSZYSTKICH POZOSTAŁYCH
 $\in \mathbb{Z}$, KTÓREGO PIERWIASTKIEM JEST
 $2\cos(x)$, TO NA MOCY ŚŁW. 8-9-10.5
OTRZYMANY POŻĄDANY WYNIK:

$$2\cos(x) \in A \cap \mathbb{Q} = \mathbb{Z}.$$

ALE WOBEC $\frac{x}{\pi} \in \mathbb{Q}$ JEST $x = \frac{m}{n} \cdot \pi$

DLA PEWNEJ PARY $(m, n) \in \mathbb{Z} \times \mathbb{Z}^*$
KOPIERWSZYCH, ZATEM

$$2\cos(nx) = 2\cos(m\pi) = 2 \cdot (-1)^m,$$

A JEDNOCZEŚNIE

(25)

$$\mathcal{L}\cos(nx) = e^{inx} + e^{-inx} =: z^n + z^{-n}$$

$$\begin{aligned} \approx &= (z + z^{-1})^n + a_{n-2} (z + z^{-1})^{n-2} + a_{n-4} (z + z^{-1})^{n-4} \\ &+ \dots + a_{\varepsilon_n} (z + z^{-1})^{\varepsilon_n}, \text{ GDZIE } \varepsilon_n = \frac{1 - (-1)^n}{2} \end{aligned}$$

I GDZIE WSPÓŁCZYNNIKI $a_{n-2}, a_{n-4}, \dots, a_{\varepsilon_n}$ SĄ OKREŚLONE JEDNOZNACZNIE PRZEZ \approx , ROZUMIANĄ JAKO RÓWNOŚĆ W $\mathbb{C}[z, z^{-1}]$

(NA MOCY LINIOWEJ NIEZALEŻNOŚCI JEDNOMIANÓW):

$$\left(\binom{n}{1} + a_{n-2} \right) z^{n-2} = 0 \Rightarrow \underline{a_{n-2} = -\binom{n}{1}}$$

$$\left(\binom{n}{2} + \binom{n-2}{1} a_{n-2} + a_{n-4} \right) z^{n-4} = 0$$

$$\Leftrightarrow \underline{a_{n-4} = -\left[\binom{n}{2} + \binom{n-2}{1} \binom{n}{1} \right]}$$

$$\begin{aligned} & \vdots \\ & \binom{n}{k} + \binom{n-2}{k-1} a_{n-2} + \binom{n-4}{k-2} a_{n-4} + \dots \\ & + \binom{n-2(k-1)}{1} a_{n-2(k-1)} + a_{n-2k} \Big) \mathbb{Z}^{n-2k} = 0 \end{aligned}$$

$$\Downarrow$$

$$a_{n-2k} = - \left[\binom{n}{k} + \binom{n-2}{k-1} a_{n-2} + \binom{n-4}{k-2} a_{n-4} + \dots + \binom{n-2(k-1)}{1} a_{n-2(k-1)} \right]$$

$$\vdots$$

JAK JASNO WYNIKA Z POWYŻSZEJ
OBSERWACJI, WSZYSTKIE WSPÓŁCZYNNIKI:

$a_{n-2}, a_{n-4}, \dots, a_{\varepsilon_n} \in \mathbb{Z}$, ZATEM

$$W_n(2\cos(x)) = 2\cos(nx) = 2 \cdot (-1)^n \in \mathbb{Z}$$

(27)

DLA $W_n = t^n + a_{n-2}t^{n-2} + a_{n-4}t^{n-4} + \dots + a_{\varepsilon_n}t^{\varepsilon_n} \in \mathbb{Z}_n[t]$,

CZYLI TEŻ DLA

$$\tilde{W}_n = W_n + 2 \cdot (-1)^{m+1} \in \mathbb{Z}_n[t]$$

MAMY ODCIEKIWANĄ KONSTANTĘ

$$d \cos(x) \in \tilde{W}_n^{-1}(101) . \quad \square$$

TAK PRZYGOTOWANI MOŻEMY PRZEJŚĆ
DO ROZWAŻAŃ Z ZAKRESU (ELEMENTARNEJ)
KRYSTALOGRAFII ...

KRYSZTAŁY IDEALNE

"POJĘCIEM PODSTAWOWYM" W NASZYCH
DOŚWIADANIACH BĘDZIE

SIEĆ KRYSTALOGRAFICZNA - ∞ DYSKRETYUM

PUNKTÓW W \mathbb{R}^n , $n \in \{2, 3\}$, KTÓRE
REPREZENTUJĄ POŁOŻENIA ATOMÓW
NIESKONCZONEGO KRYSZTAŁU,
ROZMIESZCZONYCH REGULARNIE,
PRZY CZYM MIARĄ REGULARNOŚCI JEST
(∞) DYSKRETNĄ OKRESOWOŚĆ REGULARN.

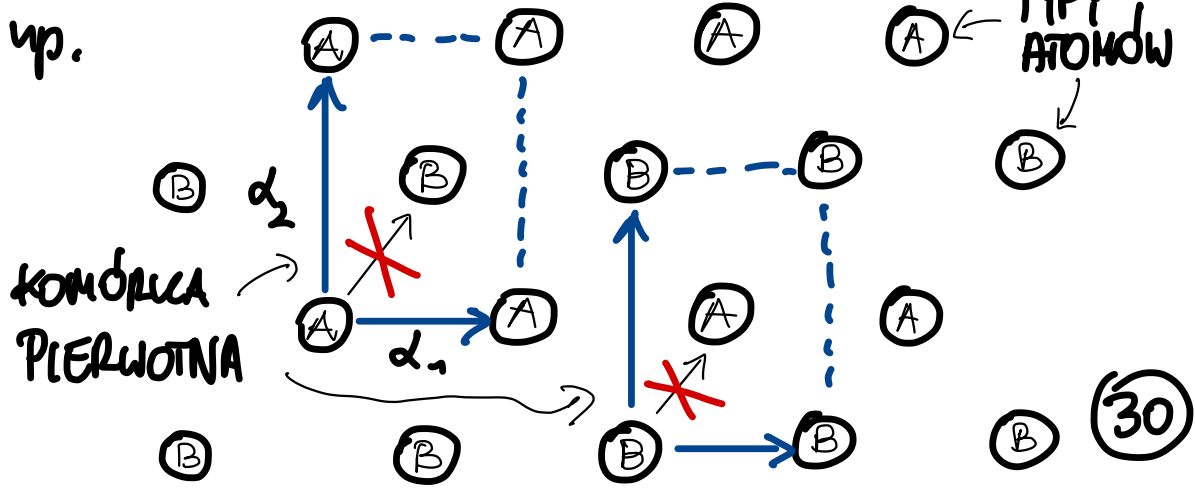
Def.: SIEĆ KRYSTALOGRAFICZNA TRANSLACYJNIE
NIEMIENNICZA (SKIN) TO
DYSKRETYUM PUNKTÓW $\Lambda \subset \mathbb{R}^n$, $n \in \{2, 3\}$
ZACHOWYWANE WYŁĄCZNIE PRZEZ TRANSLACJE
POSTACI $T \in \langle \bar{t}_i = \tau_i \mid i \in \{1, n\} \rangle = \langle d_i \mid i \in \{1, n\} \rangle$, (29)

gdyż $\alpha_i, i \in \bar{n}$ są wektorami liniowo niezależnymi w \mathbb{R}^{x_n} , zwanymi wektorami pierwotnymi sieci λ .

Wielościan o ścianach $d_i, i \in \bar{n}$ określamy mianem komórki pierwotnej lub obszaru fundamentalnego.

— x —

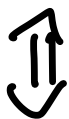
OBSERWACJA: Sktn jest sumą (rozłożoną) komórek pierwotnych, co wynika z translacyjnej niezmienniczości,



JAK POWIĄZUJE POWYŻSZY PRZYKŁAD,
W OGDALNOŚCI (DLA SIECI O KILKU RÓŻNYCH
TYPACH ATOMÓW) DZIAŁANIE GRUPE

$$J_n(1) := \langle \alpha_i \mid i \in \bar{n} \rangle_{\mathbb{Z}}$$

NIE JEST PRZEKODNIE.



Λ ROZWIĄDZANIA SIĘ NA $n > 1$
ORBIT TEGO DZIAŁANIA.

WNIOSEK: SKTN JEST JEDNOZNACZNIE
OKREŚLONA PRZEZ $J_n(1)$ ORAZ
ROZKŁAD ATOMÓW W KOMBACIE
PIERWOTNEJ.

Def.: ILEKROĆ DZIAŁANIE $T_3(\lambda)$ NA Λ
JEST PRZECHODNIĘ, SIĘC Λ OKREŚLAMY
MIANEM SIECI BRAVAIS'EGO. DLA TAKIEJ

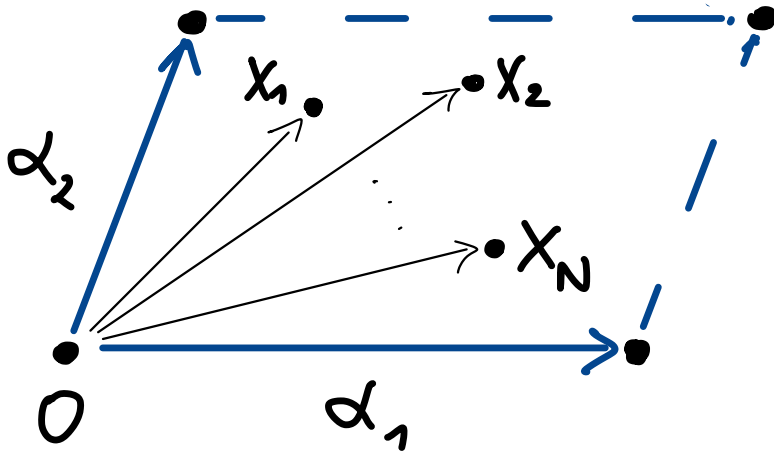
SIECI $\Lambda \simeq \langle \alpha_i \mid i \in \overline{1, n} \rangle_{\mathbb{Z}}$ (TORSOR)

OBSERWACJA: SIECI BRAVAIS'EGO RÓŻNIĄ
SIĘ MIĘDZY SOBĄ WZSTĄPIEM KONKREŚNE
PIERWOTNYCH. SĄ PRZEPROWADZANE
NA SIEBIE PRZEZ TRANSFORMACJE
AFINICZNE (NIEWONIĘCZNIĘ IZOMETR.),
TJ. $\exists!$ SIEC BRAVAIS'EGO mod $\text{Aff}(\underline{\mathbb{R}}^n)$,
GDZIE $\text{Aff}(\underline{\mathbb{R}}^n) \equiv \mathbb{R}^n \times \text{GL}(n; \mathbb{R})$.

Powyższe rozważania formalizujemy
w postaci

Def.: Niech Λ będzie sktn
 i niech $\{x_i\}_{i \in \overline{1, n}}$, $n \in \mathbb{N}$ będą atomami
 wewnątrz komórki podstawowej,
 której wierzchołkiem jest atom
 $0 \in \Lambda$. Wówczas zbiór wektorów
 $\{\vec{x}_i \equiv [0, x_i]\}_{i \in \overline{1, n}}$ określamy mianną
bazą sieci Λ .

ILUSTRACJA:



MAMY OZYSWIŚTE

Slw. 5, SKTN JEST W PEENI OKREŚLONA
PRZEJ WEKTORY PIERWOTNE $\{d_i\}_{i \in \bar{n}}$
I BAZE $\{x_j\}_{j \in \bar{n}}$.

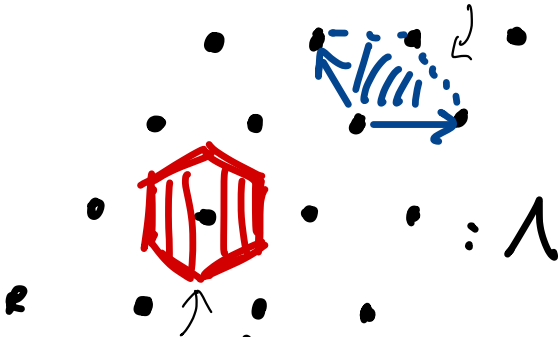
D: OZYSWISTY.

GEOMETRIĘ SIECI KRYSZALICZNEJ BYWA
WYGODNIE OPISYWAĆ PRZEJ UŻYCIEM
POJĘCIA, KTÓRE WPROWADZĄ

Def: KOMÓRKA WIGNERA-SEITZA
(LUB IN. KOMÓRKA SYMETRYCZNA)
WOKŁE ATOMU $X \in \Lambda$ SKTN Λ TO
JĘJ (DOWOLNA) KOMÓRKA VORONOJ
WOKŁE X , CZYLI ZBIÓR PUNKTÓW $\underline{\mathbb{R}^n}$
BLIŻSZYCH X NIŻ ZAKCENIUKOWIEK
INNEMU ATOMOWI Λ (uzgl. $\delta_E^{(n,0)}$). (34)

ILUSTRACJA:

KOMBARKA PIERWOTNA



KOMBARKA WIGNERA-SEITZA

— X —

W DALSZEJ CZĘŚCI WYKŁADU

SKUPIMY UWAGĘ NA RUCHACH

FRUKUDESOWYCH $E(u)$ ZACHOWUJĄCYCH

DANĄ SKTN...

PRZYPOMNIENIE:

$$\forall g \in E(n) \exists! (T, A) \in \mathbb{R}^{n \times n} \times O(n; \mathbb{R}) : g = T \circ A \quad (*)$$

(Dowód dla $n=2$ przebiega analogicznie jak dla $n=3$.)

Def.: Niech Λ będzie skłn w \mathbb{R}^{x_n} ,
 $n \in \{2, 3\}$. Podgrupę (dyskretną)

$$E_n(\Lambda) := \{ g \in E(n) \mid g(\Lambda) = \Lambda \}$$

określamy mianem krytalograficznej
grupy przestrzennej sieci Λ . Zawsza

ona jako podgrupę (normalną)
grupy translacji sieci

$$J_n(\Lambda) \equiv \langle \tau_i \mid i \in \overline{1, n} \rangle.$$

UWAGA: Odtąd będziemy zawsze
zakładać, że $0 \in \Lambda$.
(atom zerowy)

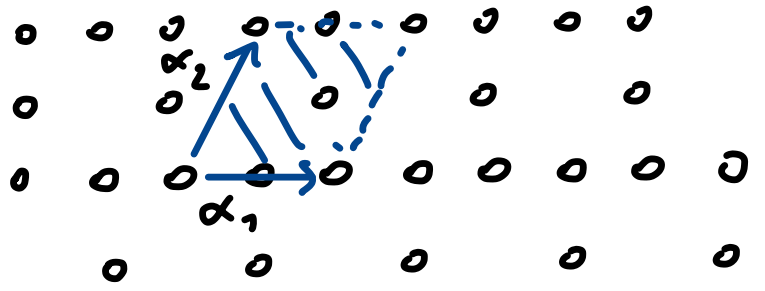
OBSERWACJA: $T: A$ w rozkładzie (*)

ELEMENTU $g \in E_n(1) \subset \Sigma(n)$ NIE
 NALĘŻĄ W ODPOWIEDZI (!) DO $E_n(1)$,

TJ. $\neg (T \circ A \in E_n(1) \Rightarrow \begin{cases} T \in E_n(1) \\ A \in E_n(1) \end{cases})$.

(KONTR-) PRZYKŁAD:

KOMÓRKA PIERWOTNA



$T \circ P \in E_2(1)$

ALE

$T, P \notin E_2(1)$

$T_1 \alpha_1 \equiv T \in \mathbb{R}^{2 \times 2}$

$P \in O(2; \mathbb{R})$

KŁUCZOWE 3 PUNKTU WIDZENIA KLASYFIKACJI
POJĘCIE KRYSALOGRAFICZNE WPROWADZA

Def.: Niech Λ będzie sktn. zbiora

$$S_n(\Lambda) := \{A \in O(n; \mathbb{R}) \mid \exists T \in \mathbb{R}^{n \times n} : T \circ A \in \mathcal{E}_n(\Lambda)\}$$

określamy mianem KRYSTALOGRAFICZNEJ
GRUPY PUNKTOWEJ SIECI Λ (lub
GRUPY SYMETRII SIECI Λ).

Skw. 6. $S_n(\Lambda)$ jest grupą.

D: normalność $\mathbb{R}^{n \times n} \subset \mathcal{E}(n)$ i jednoznaczność
rozwiązania $g \stackrel{(*)}{=} T \circ A$ dla $g \in \mathcal{E}(n)$ implikują
homomorficzność $\pi : \mathcal{E}(n) \rightarrow O(n; \mathbb{R})$,
: $T \circ A \mapsto A$

OTO BOWIEM

$$\pi((T_1 \circ A_1) \circ (T_2 \circ A_2)) = \pi(T_1 \circ (A_1 \circ T_2 \circ A_2^{-1}) \circ A_1 \circ A_2) \quad (39)$$

$$= A_1 \circ A_2 \equiv \pi(T_1 \circ A_1) \circ \pi(T_2 \circ A_2).$$

WOBEC TEGO $\text{Im}(\pi|_{E_n(\lambda)})$ JEST

PODGUPĄ W CODOM $(\pi|_{E_n(\lambda)}) \equiv O(n; \mathbb{R})$

(WSZAK $E_n(\lambda) \subset E(n)$ JEST PODGRUPĄ!),

ALE $\text{Im}(\pi|_{E_n(\lambda)}) \equiv S_n(\lambda)$. \square

STRUKTURĘ TEJ GRUPY IDENTYFIKUJEMY W

Słw. 7. $S_n(\lambda) \simeq E_n(\lambda) / T_n(\lambda)$

D: NA MOCY TW. 1-2-3.1 ZACHODZI

$$\text{Im}(\pi|_{E_n(\lambda)}) \simeq E_n(\lambda) / \text{Ker}(\pi|_{E_n(\lambda)})$$

$$\equiv E_n(\lambda) / \text{Ker} \pi \cap E_n(\lambda), \text{ ALE}$$

$$\text{Ker} \pi \equiv \mathbb{R}^{n \times n} \text{ i } T_n(\lambda) \equiv E_n(\lambda) \cap \mathbb{R}^{n \times n},$$

$$\text{ZATEM } S_n(\lambda) \simeq E_n(\lambda) / (\mathbb{R}^{n \times n} \cap E_n(\lambda)). \quad \square \quad (40)$$

OBSERWACJA: W ŚWIELE POPRZEDNIEGO
PRZYKŁADU NIE JEST W OGÓLNOŚCI PRAWDA,
ŻE $S_n(1) \subset E_n(1)$.

ZAD. DOM.: SKONSTRUJ 3-WYM. SKTN
O SYMETRII DANEJ PRZEZ PRZEKSZTAŁCENIE
ŚRUBOWE.

— × —
KOLEJNĄ GRUPĘ NATURALNĄ Z PUNKTU
WIDZENIA ROZWIĄZAŃ KRYSTALOGRAFICZNYCH
WPROWADZAMY W

Def: NIEKAJ Λ BĘDZIE SKTN.

GRUPA STACJONARNA SIECI Λ TO

$$H_n(\Lambda) := E_n(1) \cap O(n; \mathbb{R}),$$

Tj. PODGRUPA $E_n(1)$ ZŁOŻONA Z TYCH
RUCHÓW EUKLIDESOWYCH, KTÓRE ZACHOWUJĄ
ATOM $O \in \Lambda$. WPROWADZAMY TĘŻ (41)

OSOBNE OZNACZENIE

$$H_n(\lambda)_{(0)} := H_n(\lambda) \cap SO(n; \mathbb{R})$$

DLA JEJ PODGRUPY OBROTÓW.

OBSERWACJA: $H_n(\lambda) \subset S_n(\lambda)$, $\lambda \in \mathcal{C}$
w ogólności $H_n(\lambda) \neq S_n(\lambda)$ -

PATRZ: PRZYKŁAD ZE STR. 37.

Slw. 8. NIECHAJ λ BĘDZIE SKTN.

WÓWZGAS $H_n(\lambda) = E_n(\lambda) \cap S_n(\lambda)$.

PRZY TYM JEŚLI λ JEST BRAVAIS'EGO,
ZACHODZI $H_n(\lambda) = S_n(\lambda)$.

D: PIERWSZA CZĘŚĆ TEŻY JEST TRWAŁA.

NIECHAJ ZATEM λ BĘDZIE BRAVAIS'EGO

i NIECH $A \in S_n(\lambda)$, CZYLI $\exists T \in \mathbb{R}^{k \times n}$;
 $T \circ A \in E_n(\lambda)$. ROZWAŻMY $T \circ A(0) = T(0) \in \Lambda$. (12)

SKORO λ JEST BRAVAIS'EGO, TO
 $\exists \tilde{T} \in \mathcal{T}_n(\lambda) : T(0) = T \circ A(0) = \tilde{T}(0)$,
 CZYLI $T = \tilde{T} \in \mathcal{T}_n(\lambda)$, $\lambda \nearrow$

A W TAKIM RAZIE

$$\mathcal{T}_n(\lambda) \cdot \mathcal{E}_n(\lambda) \ni \tilde{T}^{-1} \circ (T \circ A) \equiv (T^{-1} \circ T) \circ A$$

$$\hat{\mathcal{E}}_n(\lambda) \cdot \mathcal{E}_n(\lambda) \equiv \mathcal{E}_n(\lambda) \quad \parallel \quad \square$$

x

JAK SIĘ OKAZUJE, TRANSLACYJNA
 NIEZMIENNICZOŚĆ WYDATNIE OGRANICZA

ZBIÓR DOPUSZCZALNYCH GRUP PUNKTOWYCH
 SKTN, CZEGO ZAPOWIEDŹ PRZYNOŚI

TW.4 NIECHAJ λ BĘDZIE SKTN. GRUPA
 $\mathcal{H}_n(\lambda)(0)$ JEST SKOŃCZONA, A DAWNY

JĘJ ELEMENT JEST OBROTEM O KĄT
 BĘDĄCYM CAŁKOWITOLICZBOWĄ KROTNOŚCIĄ
 $\frac{\pi}{3}$ LUB $\frac{\pi}{2}$.

D: (DOWÓD PRZEPROWADZIMY DLA $n=3$,
 W TAKI WZAJCIE SPOŚÓB, JE PRAWOZIWÓŚĆ
 TEJ DLA $n=2$ BĘDZIE JEJÓ OZWIĘSTĄ
 KONSEKWENCJĄ.) ROZWAŻAMY $\mathbb{Q} \in H_3(1)_\omega$.

1° NIECHAJ λ BĘDZIE BRAVAIS'EGO, T.J. NIECH
 DOWOLNY ATOM λ BĘDZIE TRANSLATĄ OEA
 O WEKTOR $n_1 \triangleright d_1 + n_2 \triangleright d_2 + n_3 \triangleright d_3$ DLA PEWNYCH
 $n_1, n_2, n_3 \in \mathbb{Z}$. W ŚWIETLE ŚW.2. \mathbb{Q} JEST
 OBROTEM O PEWIEŃ KĄT φ WOKŁE PEWNEJ
 OSI $\langle v \rangle_{\mathbb{R}}$, T.J. $\mathbb{Q} = R(\vec{v}; \varphi)$. $\uparrow \langle v \rangle_{\mathbb{R}}$
 $\downarrow \varphi$

OZNACZMY $\Pi \equiv \langle v \rangle_{\mathbb{R}}^\perp = \delta_E^{(3,0)}$. ZACHŁODZI
 $\Lambda = \langle d_1 \rangle_{\mathbb{Z}} \oplus \langle d_2 \rangle_{\mathbb{Z}} \oplus \langle d_3 \rangle_{\mathbb{Z}}$, A MY ROZWAŻAMY
 $\mathbb{P}_{\Pi}^{\langle v \rangle_{\mathbb{R}}}(\Lambda) \subset \Pi$. NIECHAJ $A_1 \in \mathbb{P}_{\Pi}^{\langle v \rangle_{\mathbb{R}}}(\Lambda) \setminus \{0\}$
 (RÓWNOLEŻNY NA Π WZDŁUŻ $\langle v \rangle_{\mathbb{R}}$)

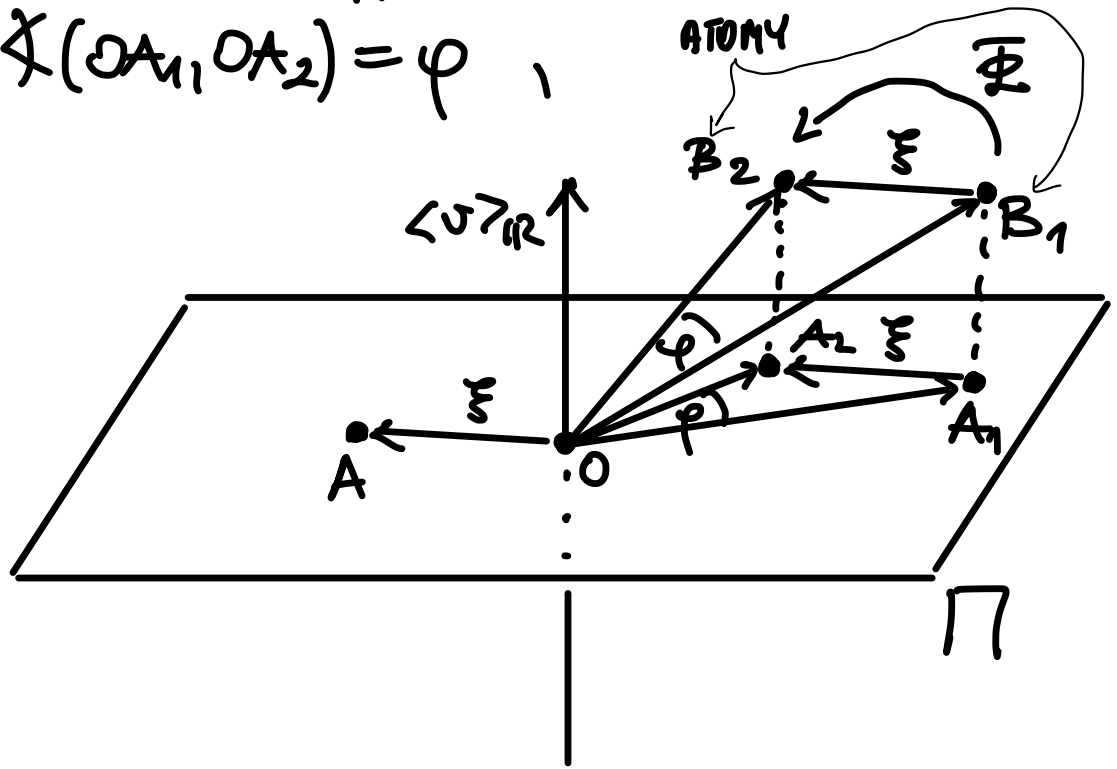
BĘDZIE PUNKTEM $P_{\cap}^{\langle U \rangle_{\mathbb{R}}}(A)$ NAJBLIŻSZYM O .

OZNACZMY $B_2 := R(\vec{v}; \varphi) B_1$ DLA $B_1 \in \Lambda$

O WŁASNOŚCI $P_{\cap}^{\langle U \rangle_{\mathbb{R}}}(B_1) = A_1$ A WTEDY

DLA $A_2 = P_{\cap}^{\langle U \rangle_{\mathbb{R}}}(B_2)$ OTRZYMUJEMY RÓWNOŚĆ

$$\angle(OA_1, OA_2) = \varphi$$



SKORO JEDNAK OB_1 I OB_2 SĄ TRANSLACJAMI SIECI Λ , TO TAKŻE $\xi = OB_2 - OB_1 \in J_3(\Lambda)$,

ALE $\xi \parallel \Pi$, ZATEM $A := T_{\xi}(O) \in \Lambda$,

A PONIEWAŻ A_1 (WIEC I A_2) SĄ NAJBLIŻSZE O , (45)

JEST $\|OA\| \geq \|OA_1\| \equiv \|OA_2\|$. PRZY TYM

$\|OA\| = \|B_1B_2\| = \|A_1A_2\|$, PRZETO PODSTAWA

TRÓJKĄTA RÓWNOBIAWNIENNEGO A_1OA_2 MA DŁUGOŚĆ NIE MNIEJSZĄ NIŻ JEJ RAMIONA

OA_1 I OA_2 , SKĄD WNIOSIŁE:

$$(\pi \geq) |\varphi| \geq \frac{\pi}{3}.$$

STWIERDZAMY ZATEM, CO NASTĘPUJE

1.1° NIECH $\varphi \in]\frac{\pi}{3}, \frac{\pi}{2}[$, T.J. $\varphi = \frac{\pi}{2} - \Delta$

DLA $\Delta \in]0, \frac{\pi}{6}[$, A WTEDY

$$5\varphi = \frac{5\pi}{2} - 5\Delta \equiv \frac{\pi}{2} - 5\Delta \pmod{2\pi}.$$

TAKI 5-KROTNY OBRÓT o φ WOLNIE $\in \mathbb{R}$ TO DOZWOLONA TRANSFORMACJA $\Lambda \in \mathbb{C}$.

ZACHODZI $5\Delta < \frac{\pi}{6}$, BO W PRZECIWNYM RAZIE

MUSI BYĆ $5\Delta > \frac{\pi}{2} + \frac{\pi}{3} = \frac{5\pi}{6}$ (WSZAK $|\varphi| \stackrel{1.1.}{<} \frac{\pi}{3}$)

CZYLI $\Delta > \frac{\pi}{6}$ ⚡

W DOWODZAS WSZAKIJE $4\varphi = \frac{4\pi}{2} - 4\Delta \equiv -4\Delta \pmod{2\pi}$,

A PRZY TYM $|-4\Delta| = 4\Delta < 5\Delta < \frac{\pi}{6}$,

CZYLI $|4\varphi| < \frac{\pi}{6} < \frac{\pi}{3}$ ⚡

ANALOGICZNE ROZUMOWANIE DLA $\varphi \in]-\frac{\pi}{2}, \frac{\pi}{3}[$

WYKŁUCZA TAKIŻ TEN ZAKRES.

1.2° $\varphi = \frac{\pi}{3}$ JEST DOPUSZCZALNE, GDYŻ
 $\forall n \in \mathbb{Z}^x : |n\varphi| > \frac{\pi}{3} \pmod{2\pi}$.

1.3° $\varphi = \frac{\pi}{2}$ J/W 1.5° $\varphi = \pi$ J/W

1.4° $\varphi = \frac{2\pi}{3}$ J/W

1.6° NIECH $\varphi \in]\frac{\pi}{2}, \frac{2\pi}{3}[$, $\varphi = \frac{\pi}{2} + \tilde{\Delta}$

DLA $\tilde{\Delta} \in]0, \frac{\pi}{6}[$, A WTEDY $4\varphi \equiv 4\tilde{\Delta} \pmod{2\pi}$

ZAZĄDAJMY $4\tilde{\Delta} > \frac{\pi}{3}$, BY OTRZYMAĆ

$3\varphi = \frac{3\pi}{2} + 3\tilde{\Delta} \equiv -\frac{\pi}{2} + 3\tilde{\Delta} \pmod{2\pi}$ (47)

∞ DĄJŚ

$$0 = -\frac{\pi}{2} + 3 \cdot \frac{\pi}{6} > 3\varphi > -\frac{\pi}{2} + \frac{3}{4} \cdot \frac{\pi}{3} = -\frac{\pi}{4}$$

czyli $|3\varphi| = \frac{\pi}{4} < \frac{\pi}{3}$ mod 2π ↴

1.7° NIECH $\varphi \in]\frac{2\pi}{3}, \pi[$, tj. $\varphi = \pi - \tilde{\Delta}$

DLA $\tilde{\Delta} \in]0, \frac{\pi}{6}[$, A WTEDY $2\varphi \equiv -2\tilde{\Delta} \pmod{2\pi}$

WIĘC TĘŻ $|2\varphi| = 2\tilde{\Delta} < \frac{2\pi}{6} = \frac{\pi}{3}$ ↴

OSTATECZNIE ZMĘM

$$\varphi \in \left\{ 0, \pm \frac{\pi}{3}, \pm \frac{\pi}{2}, \pm \frac{2\pi}{3}, \pi \right\} \quad \square$$

W ODPOWIEDNĄ SPOSÓB POWYŻSZE SĄ JEDYNYMI
DOPUSZCZALNYMI OBRÓTAMI SYMETRII SIECI
KRYSZTAŁOWEJ.

2° ROZWAŻMY NASTĘPNIE DOWOLNĄ SIEĆ
KRYSZTAŁOWĄ Λ O WEKTORACH PIERWOTNYCH
 α_1 i α_2 , A NA NIEJ - OBRÓT $\mathbb{R} = R_{\frac{\pi}{2}}$ (18)

$0 < \varphi \neq 0 \pmod{2\pi}$. Wobec
skonńczoności λ

$$\exists n \in \mathbb{N}^* : \Phi^n = \text{id}_{\mathbb{R}^n}$$

\Downarrow

$$\exists (m, n) \in \mathbb{Z} \times \mathbb{N}^* : \varphi = \frac{2m}{n} \pi.$$

wzgl. pierwiastki

(w przeciwnym razie kolejne potęgi

Φ wygenerują ∞ wiele atomów

w wnętrzu pierwotnej i dowolnego

atomu w tej gę.)

Skoro zaś $T_{\mathbb{R}^1(\alpha_1)}, T_{\mathbb{R}^2(\alpha_1)}, \dots, T_{\mathbb{R}^{n-1}(\alpha_1)} \in \mathcal{J}_2(\lambda)$,

$$\Phi \cdot T_{\alpha_1} \cdot \Phi^{-1}$$

To $\forall k \in \overline{0, n-1} : \Phi^k(\alpha_1) \in \langle \alpha_1, \alpha_2 \rangle_{\mathbb{Z}}$.

Wzrost $\{\alpha_1, \Phi^2(\alpha_1)\}$ są liniowo zależne

(nad \mathbb{R}), jest $\varphi \in \frac{\pi}{2}\mathbb{Z}$, zgodnie z tezą. (49)

ZADAJMY DALEJ, JE $\{\alpha_1, \Phi(\alpha_1)\}$ SĄ LINIOWO
 NIEZALEŻNE, $\Gamma \cdot \mathbb{R}^{\times 2} = \langle \alpha_1, \Phi^2(\alpha_1) \rangle_{\mathbb{R}}$, ZYLI
 TEŻ $\Phi(\alpha_1) \in \langle \alpha_1, \Phi^2(\alpha_1) \rangle_{\mathbb{R}}$. MAMY

LEMAT: NECHAJ λ BĘDZIE SKTŃ W 2 WYMIARACH
 I NECH $T_1, T_2 \in \mathcal{I}_2(\mathbb{R})$. WÓWCZAS

$T := \lambda_1 \circ T_1 + \lambda_2 \circ T_2 \in \mathcal{I}_2(\mathbb{R}) \implies \lambda_1, \lambda_2 \in \mathbb{Q}$.

DL: NECH $\tau_1, \tau_2 \in \mathbb{R}^{\times 2}$ BĘDĄ TRANSLACJAMI
 O WEKTORY PIERWOTNE, A WTEDY

$T_A = m_1^A \circ \tau_1 + m_2^A \circ \tau_2$ DLA PEWNYCH $m_1^A, m_2^A \in \mathbb{Z}$
 $A \in \{1, 2\}$.

WÓWCZAS TEŻ

$T = (m_1^1 + m_1^2) \cdot \lambda_1 \circ \tau_1 + (m_2^1 + m_2^2) \cdot \lambda_2 \circ \tau_2$,

ALE $T \in \langle \tau_1, \tau_2 \rangle_{\mathbb{Z}}$, ZATEM

$(m_2^1 + m_2^2) \cdot \lambda_2 \in \mathbb{Z}$, $\alpha \in \{1, 2\}$

$\iff \lambda_1, \lambda_2 \in \mathbb{Q}$. \square

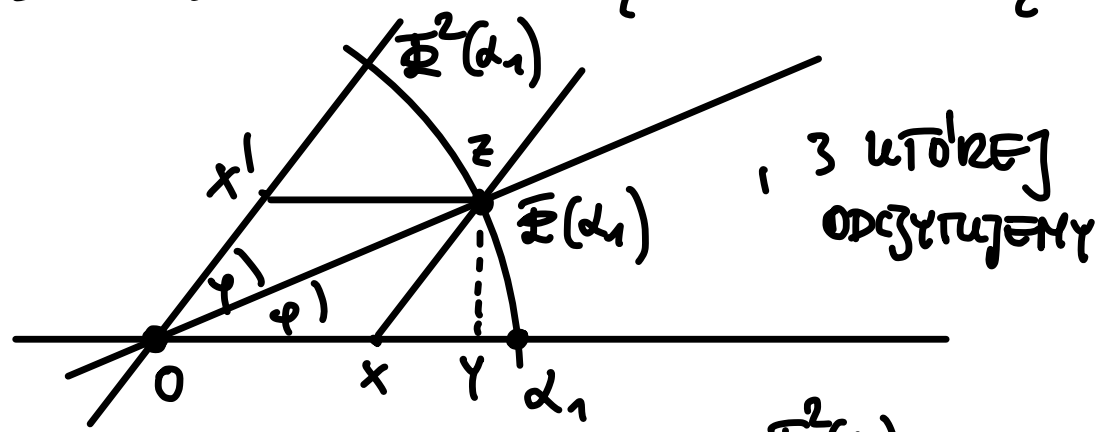
(50)

ZWRÓĆMY PRZY TYM UWAGĘ, ŻE $\alpha_1 \in \mathbb{R} \setminus \mathbb{Q}$
 V $\alpha_2 \in \mathbb{R} \setminus \mathbb{Q}$ DAWAŁOBY NAM ∞ WIELE
 ATOMÓW W WYBÓRZE PIERWOTNOJ,
 GENEROWANYCH PRZEJ $\mathbb{N} \setminus \{1\}$ WÓD
 $\langle \tau_1, \tau_2 \rangle_{\mathbb{Z}}$, Z KTÓRYCH ŻADNE DWA NIE
 BYŁYBY TOŻSAME.

WNIOSEK: $\exists g_1, g_2 \in \mathbb{Q}$:

$$\Phi(\alpha_1) = g_1 \triangleright \alpha_1 + g_2 \triangleright \Phi^2(\alpha_1).$$

ROZPATRZYMY ODNOJNĄ PLANIMETRIĘ...



$$\Phi(\alpha_1) = \|OX\| \triangleright \frac{\alpha_1}{\|\alpha_1\|} + \|OX'\| \triangleright \frac{\Phi^2(\alpha_1)}{\|\Phi^2(\alpha_1)\|}$$

$$= \frac{\|OX\|}{\|\alpha_1\|} \triangleq (\alpha_1 + \mathbb{F}^2(\alpha_1)), \text{ ZATEM}$$

$$\frac{\|OX\|}{\|\alpha_1\|} \stackrel{!}{\in} \mathbb{Q} \quad (\Leftarrow \text{LEMAT})$$

Z DRUGIEJ STRONY

$$\|OX\| = \|OY\| - \|XY\|$$

$$= \|\mathbb{F}(\alpha_1)\| \cdot \cos \varphi - \|XZ\| \cdot \cos 2\varphi$$

$$= \|\alpha_1\| \cdot \cos \varphi - \|OX\| \cdot \cos 2\varphi,$$

PRZETO

$$\frac{\|OX\|}{\|\alpha_1\|} = \frac{\cos \varphi}{1 + \cos 2\varphi} = \frac{\cos \varphi}{2 \cos^2 \varphi} = \frac{1}{2 \cos \varphi}.$$

DOSTAJEMY ZATEM WARUNKU

$$\mathbb{Q} \stackrel{!}{\ni} \frac{1}{2 \cos \varphi} \Leftrightarrow \cos \varphi \stackrel{!}{\in} \mathbb{Q}, \text{ ALE } \frac{\varphi}{\pi} = \frac{2m}{n} \in \mathbb{Q},$$

WIĘC W ŚWIETLE TW. 3. $\varphi \stackrel{!}{\in} \frac{\pi}{3} \mathbb{Z} \cup \frac{\pi}{2} \mathbb{Z}$



3° POWRÓCAMY DO ANALIZY WECI PRZESTRZENNEJ.
 WŁAŚCIWOŚĆ JEDYNĄ Z JEJ WŁAŚCIWOŚCI PRZYKŁADNYCH
 $\alpha_1, \alpha_2, \alpha_3$ - NP. α_1 - JEST $\perp \langle v \rangle_{\mathbb{R}}$,

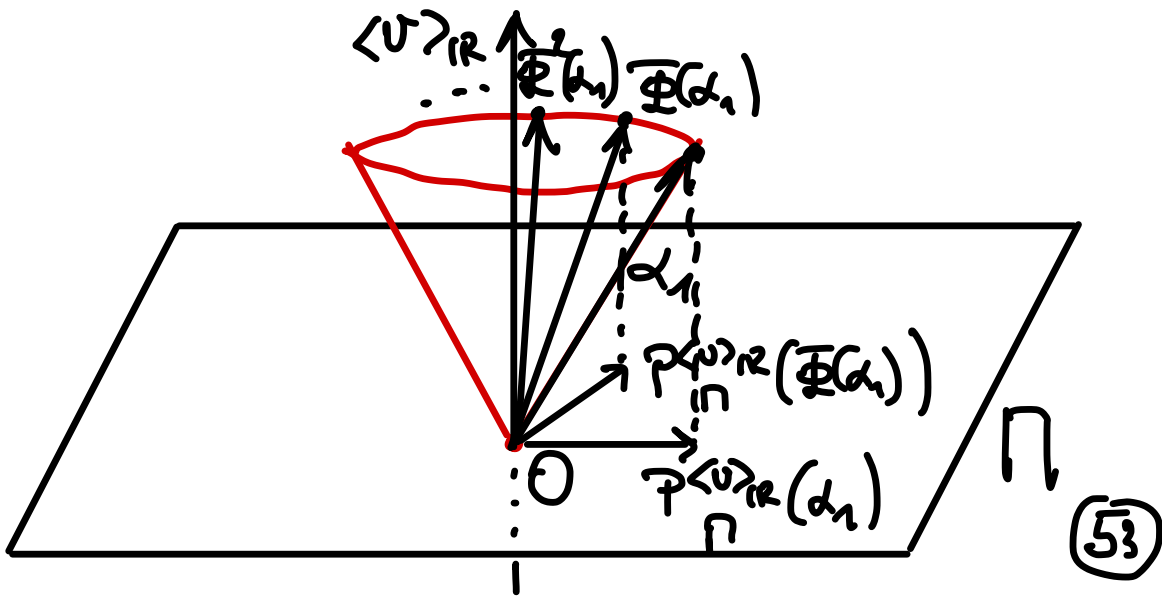
ARGUMENTACJA Z PUNKTU 2° ODWIESIONA
 DO $\alpha_1, \mathbb{F}(\alpha_1), \mathbb{F}^2(\alpha_1), \dots$ PROWADZI NAS,
 JAK UPREŻENIO, DO POŻĄDANEJ KONKLUZJI.

ZATÓŻYMY W TAKIM RAZIE, ŻE

$$\forall i \in \{1, 2, 3\} : \alpha_i \notin \langle v \rangle_{\mathbb{R}}$$

A WTEDY WYBRANEJ DOWOLNY Z NIICH

- NP. α_1 - ROZWAŻAMY SIĘ



WRAZ Z JEJĄ RZUTEM PROSTOKĄTNYM

NA $\Pi \perp \langle v \rangle_{\mathbb{R}}$, A W NICH —

$\alpha_1, \mathbb{E}(\alpha_1), \mathbb{E}^2(\alpha_1) \dots$ ORAZ ODNOŚNE RZUTY

$P_{\Pi}^{\langle v \rangle_{\mathbb{R}}}(\alpha_1), P_{\Pi}^{\langle v \rangle_{\mathbb{R}}}(\mathbb{E}(\alpha_1)), P_{\Pi}^{\langle v \rangle_{\mathbb{R}}}(\mathbb{E}^2(\alpha_1)), \dots$

$\underline{\alpha}_1^{(0)} \quad \underline{\alpha}_1^{(1)} \quad \dots$

I ZNOWA LINIOWA ZALĘŻNOŚĆ

$\underline{\alpha}_1^{(0)}$ i $\underline{\alpha}_1^{(2)} \Leftrightarrow \varphi \in \frac{\pi}{2} \mathbb{Z}$,

A LINIOWA NIEZALĘŻNOŚĆ TYCH WEKTORÓW

OZNACZA $\underline{\alpha}_1^{(1)} \in \langle \underline{\alpha}_1^{(0)}, \underline{\alpha}_1^{(2)} \rangle_{\mathbb{R}}$.

PODOBNIĘ JAK POPRZĘDNIÓ

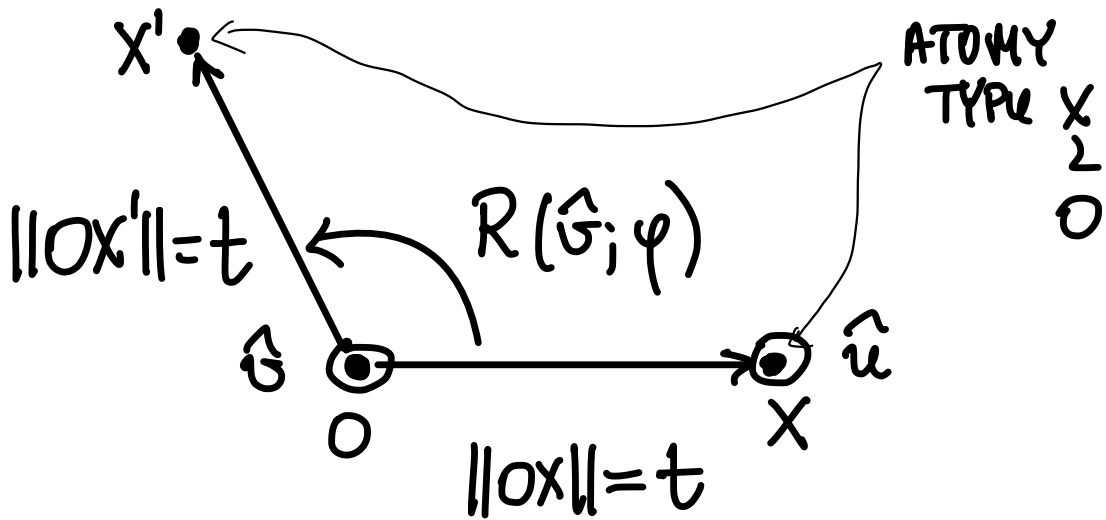
$$\underline{\alpha}_1^{(1)} = \lambda_1 \alpha_1^{(0)} + \lambda_2 \alpha_1^{(2)}$$

ZĘ WSPÓŁCZYNNIKAMI $\lambda_1, \lambda_2 \in \mathbb{Q}$, |

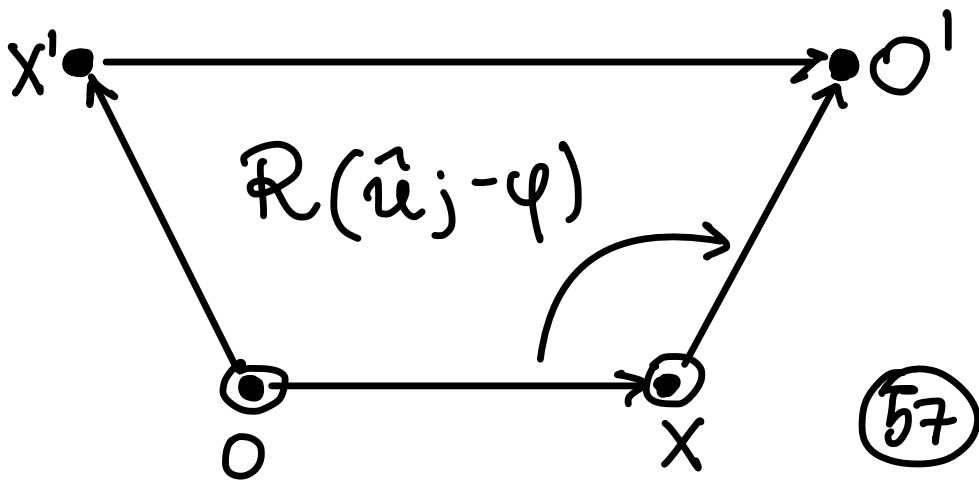
BO W PRZECIWNYM RAZIE DOSTAJEMY
 ∞ WIELE TRANSLAT O W Π ,
 KTÓRE MUSZĄ POCHODZIĆ OD ∞
 WIELU TRANSLAT DOZWOLONYCH
 WZDŁUŻ STÓJWA, KTÓRE $\text{mod} \langle \alpha_1, \alpha_2, \alpha_3 \rangle \cong$
 GENERUJĄ ∞ WIELE ATOMÓW W WYBÓRZE
 PIERWOTNEJ. ZNOW ZATEM NIEODJAWNIA
 $\varphi \in \frac{\Pi}{3} \cong \cup \frac{\Pi}{2} \cong. \quad \square$

ZANIM PRZEKŁAJEMY POWIŻSZY REZULTAT
 W KLASYFIKACJĘ GRUP STACJONARNYCH
 W WYMIARZE 2 i 3, PRZESLEDZIMY
 ALTERNATYWNE SPOJRZENIA NA TEŻE
 Tw. 4., ROZSZERZAJĄC TYM SPOSOBEM
 WYDATNIE POLE SŁOJARZENIOWE
 i INTUICJĘ GEOMETRYCZNĄ... (55)

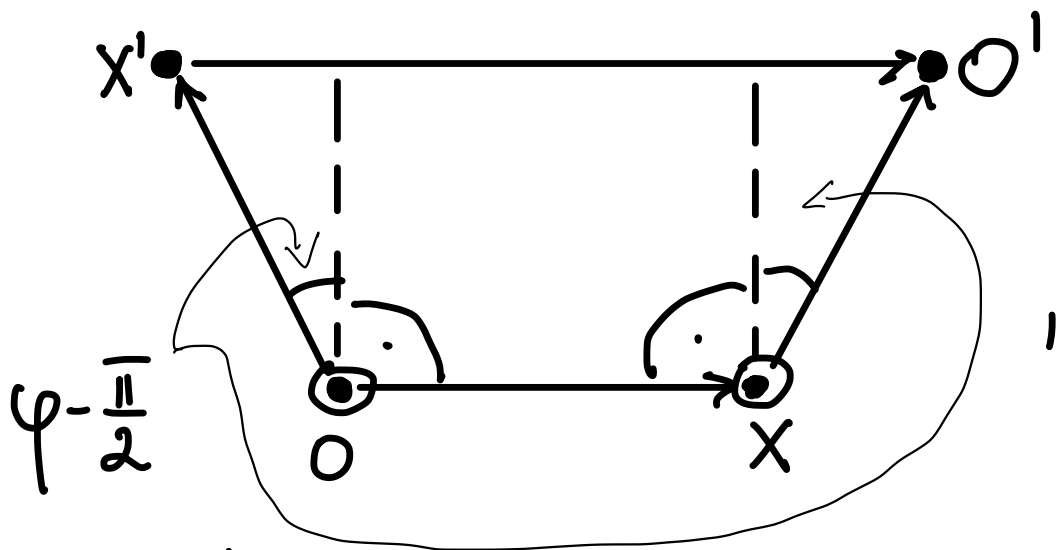
ZACZYNIEMY OD ALTERNATYWNEGO ROZUMOWANIA
PLANIMETRYCZNEGO: OGRANICZAJĄCE ZBIÓR
DOPUSZCZALNYCH OBROTÓW ZAŁOŻENIE
O ICH ZGODNOŚCI Z DYSKRETNĄ OKRESOWOŚCIĄ
SIECI KRystalograficznej OZNACZA, ŻE
ILEKROĆ MAMY DO CZYNNIENIA Z OBROTEM
 $R(\vec{v}; \varphi)$ ZAKOŃCZAJĄCYM SIEĆ 1,
W PŁASZCZYŹNIE $\Pi = \langle \vec{v} \rangle_{\mathbb{R}}$ LEŻY OO WIELE
PUNKTÓW $\neq 0$, ROZMIESZCZONYCH REGULARNIE,
Tj. OKRESOWO, WZGLĘDEM KTOREKUN MOŻEMY
PODDAWAĆ SIEĆ OBROTEM O KĄT φ
(WOLNIE OSI PRZEZ NIE PRZECHODZĄCYM
 $A \perp \Pi$). NIECH $X \in \Pi$ BĘDZIE JEDNYM
Z TYCH PUNKTÓW = ATOMÓW (TEGO SAMEGO
TYPU CO 0). MAMY WÓWczas UKŁAD
ATOMÓW (56)



Skoro zaś $R(\hat{v}; \varphi)$ jest symetrią Λ , to jest nią też $R(\hat{v}; -\varphi)$,
 a zatem także $R(\hat{u}; -\varphi)$. Obserwacja
 ta pozwala odwrócić dodatkowy
 fragment sieci:



TYM SPOSOBEM OTRZYMUJEMY TRAPЕZ
 RÓWNOBIAJENNY



W KTOREJM

$$\begin{aligned} \|X'O'\| &= \|OX\| + \|OX'\| \cdot \sin\left(\varphi - \frac{\pi}{2}\right) \\ &\quad + \|XO'\| \cdot \sin\left(\varphi - \frac{\pi}{2}\right), \end{aligned}$$

WŁĄCZAJĄC - WOBEC IZOMETRYCZNOŚCI

$R(\vec{v}_j, \varphi)$ I $R(\vec{u}_j, -\varphi)$ -

$$\begin{aligned} \|X'O'\| &= \|OX\| \cdot (1 + 2 \sin(\varphi - \frac{\pi}{2})) \\ &= \|OX\| \cdot (1 - 2 \cos \varphi). \end{aligned}$$

DYSKRETNĄ OKRESOWAĆ Λ IMPULSJE,
TAK JAK W TEZIE LEMATU ZE STR. 50,
RELACJE $\frac{\|x'0\|}{\|0x\|} \in \mathbb{Q}$, CZYLI

$1 - 2\cos\varphi \in \mathbb{Q} \Leftrightarrow \cos\varphi \in \mathbb{Q}$, ALE TEŻ
 $\varphi/\pi \in \mathbb{Q}$, ZATEM NA MOCY TW.3.

$$\varphi \in \frac{\pi}{3}\mathbb{Z} \cup \frac{\pi}{2}\mathbb{Z}.$$

———— x —————

INNYM SPOSOBEM UZYSKANIA TEŻO SAMEGO
OGRANICZENIA JEST ANALIZA MOŻLIWYCH
REGULARNYCH PARAMETRÓW Γ ZŁOŻONYCH
Z WŁOŚCI WIGNERA - SEITZA (POD)SIECI
 Λ , PATRZ: STR. 34-35. SĄDZI ISTNIENIE

PARAMETRÓW ODZWIERCIEDLA DYSKRETNĄ
OKRESOWAĆ SIECI Λ . (59)

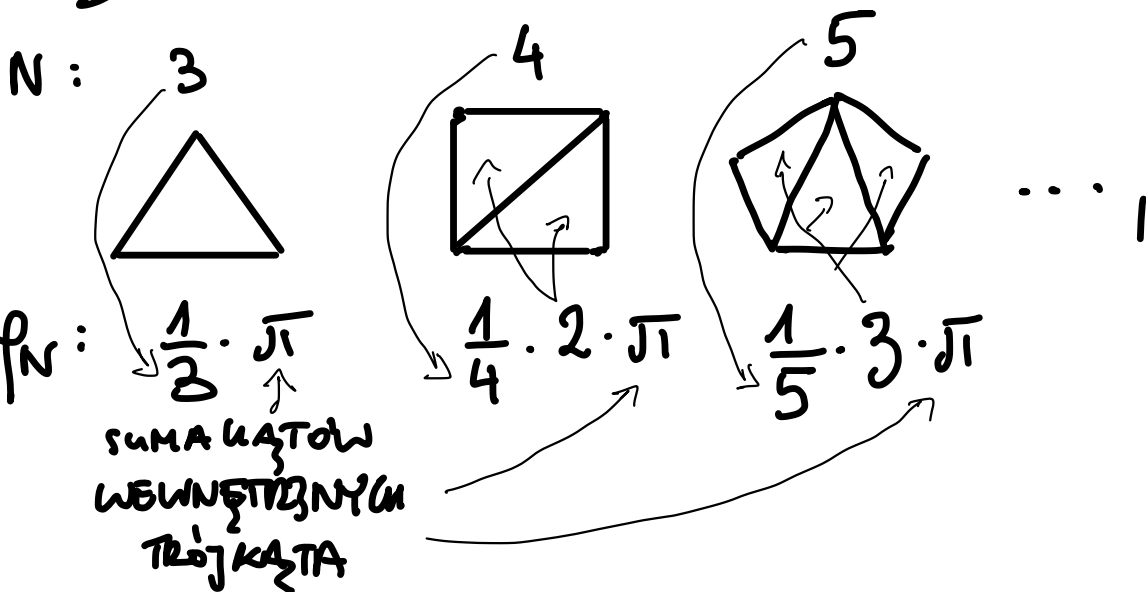
JĘJ UZGODNIENIE Z SYMETRIĄ OBROTOWĄ
WYMAGA SKOŃCZONOŚCI RZĘDU GENERATORA
TEJ OSTATNIEJ - NIECH TO BĘDZIE $n \in \mathbb{N}$
ORAZ SYMETRII OBROTOWEJ (TEGO RZĘDU
 n) PŁYTKI PAKIETAŻU. TO OZNACZA,
ŻE PŁYTKA JEST REGULARNYM n -KĄTEM.
ISTNIENIE (ŚCISŁEGO) PAKIETAŻU \mathbb{R}^2
ZŁOŻONEGO Z TAKICH n -KĄTÓW
OZNACZA, ŻE SKOŃCZONA KROTNOŚĆ KĄTA
WENNEJTRZNEGO φ_n PRZY WIERZCHOŁU
 n -KĄTA OKREŚLONA PRZEZ LICZBĘ
 n -KĄTÓW PRZYLEGAJĄCYCH ŚCISLE
W WIERZCHOŁU PAKIETAŻU
WYPEŁNIA KĄT π WOKOŁ TEGO
WIERZCHOŁA. OZNACZMY TĘ LICZBĘ
JAKO $m \in \mathbb{N}^*$.

OTRZYMUJEMY WÓWczas TOŻSAMOŚĆ

$$M \cdot \varphi_N = 2\pi.$$

JAK POKAZUJĘ DOWODNIC PROSTE

ROZUMOWANIE :



ZACHODZI $\varphi_N = \frac{1}{N} \cdot (N-2) \cdot \pi.$

WÓWEC tego OTRZYMUJEMY RELACJĘ

$$M = \frac{2N}{N-2} \quad \text{NA } \mathbb{N}^* \times \mathbb{N}^* \ni (M, N),$$

(6)

A W ISTOCIE - NA $\mathbb{N}_{\geq 3} \times \mathbb{N}_{\geq 3}$

(NIE MA SENSU MÓWIĆ O „WIERZCHOLEM”,
W KTÓRYM PRZYLEGAJĄ DO SIEBIE 2
KOMÓRKI WIGNERA-SITZA, TAK JAK
NIE MA SENSU MÓWIĆ O KOMÓRCE
O $(\leq) 2$ KĄTACH WEWNĘTRZNYCH).

WOBEC ŚCISŁEJ MONOTONICZNOŚCI

FUNKCJI $\mathbb{R}_{>2} \ni x \xrightarrow{f} \frac{2x}{x-2} \in \mathbb{R}$,

WYNIKAJĄCEJ Z RACHUNKU

$$\frac{df}{dx}(x) = -\frac{4}{(x-2)^2} < 0,$$

STWIERDZAMY ISTNIENIE SZTYWNYCH

WIEZÓW: $3 \leq N \leq 6$

(DLA $N=7$ MAMY $M(N) = \frac{14}{5} < 3$). (62)

(NAWIĄSZĄC DO WIAZANIA, $M=1$ WYMAGAŁOBY $N=-2$ ⚡,
A $M=2$ DAJE WYNIK ABSURDALNY $0=-2$ ⚡.)

MAMY PRZETO EWENTUALNOŚCI:

$$N=3 \Rightarrow M=6 \quad \checkmark$$

$$N=4 \Rightarrow M=4 \quad \checkmark$$

$$N=6 \Rightarrow M=3 \quad \checkmark$$

ORAZ WYKLUCZONA PRZEZ WARUNEK
CAŁKOWITOŚCI M NI-EWENTUALNOŚĆ

$$N=5 \Rightarrow M = \frac{10}{3} \notin \mathbb{N} \quad \text{⚡}$$

ROZUMOWANIE TO PŁUCZA NOWE
ŚWIATŁO NA GEOMETRYCZNY SENS
WYKLUCZENIA OBROTÓW RZĄDU 5
JAKO SYMETRII SKTN.

3 POWYŻSZEJ WNIKA JUŻ WPROST

TW. 5. [KLASYFIKACYJNE DLA $H_2(1)_{(0)}$]

DLA DOWOLNEJ PŁASKIEJ SKTN Λ ZAMODJI

$H_2(1)_{(0)} \simeq C_n$, $n \in \{1, 2, 3, 4, 6\}$, gdzie

$$C_n = \left\{ \begin{pmatrix} \cos \frac{2\pi k}{n} & n \sin \frac{2\pi k}{n} \\ -n \sin \frac{2\pi k}{n} & \cos \frac{2\pi k}{n} \end{pmatrix} \mid k \in \overline{0, n-1} \right\} \simeq \mathbb{Z}_n.$$

$\subseteq \mathbb{R}_n^k$ ($C_1 \equiv 1$)

D: PATRZ: ROZUMOWANIE WZĘSNIĘJŠE.

PRZEJŚCIE OD $H_2(1)_{(0)}$ DO $H_2(1)$ WYMAGA
DOPUSZCZENIA W ROLI SYMETRII Λ ODBICIA
 $P_{\hat{e}}$ W PROSTEJ $\langle \hat{e} \rangle$ (ZACHOWUJĄCEGO OBL)
ROZJĘDRZENIE $H_2(1)_{(0)}$ J/W O TAILIE
ODBICIE PROWADZI DO...

TW. 6. [KLASYFIKACYJNE DLA $H_2(A)$]

DLA DOWOLNEJ PLASKIEJ SKTN Λ

ZACHODZI $H_2(\Lambda) \simeq C_n, n \in \{1, 2, 3, 4, 6\}$

ALBO $H_2(\Lambda) \simeq D_n, n \in \{1, 2, 3, 4, 6\}$,

GDZIE $D_n \equiv C_n \rtimes_{\alpha} \mathbb{Z}_2$ JEST GRUPĄ

DIEDRALNĄ O GENERATORACH

R_n (JAK W TEŻE TW. 5.) I $P_{\hat{1}}$

SPEŁNAJĄCYMI RELACJE

$$R_n^n = e = P_{\hat{1}}^2 \wedge (R_n P_{\hat{1}})^2 = e, \quad (RP)$$

KTÓRA TO GRUPA JEST ILOGYCNĄ

POŁPROSTYM $C_n \simeq \mathbb{Z}_n ; \mathbb{Z}_2 = \{1, P_{\hat{1}}\}$

O STRUKTURZE ZADAWANEJ PRZEZ

$$\alpha : \mathbb{Z}_2 \rightarrow \text{Aut } C_n : P_{\hat{1}}^k \mapsto \text{Inv}^k, k \in \{0, 1\}.$$

(NALEŻY ZWAŻYĆ, ŻE C_n JEST PRZEMIENNA
STĄD AUTOMORFICZNOŚĆ INV.)

D: W ŚWIETLE TW.5. JEDYNYM, CO WYMAGA
OKAZANIA, JEST RELACJA (RP), KTÓRĄ
ODZWIERCUDLA TEŻ WIERNIE IDENTYFIKACJA

$$\alpha(P_i) = \text{InV} - \text{ISTOTNIE,}$$

$$(R_n P_i)^2 = e (= P_i^2) \Leftrightarrow$$

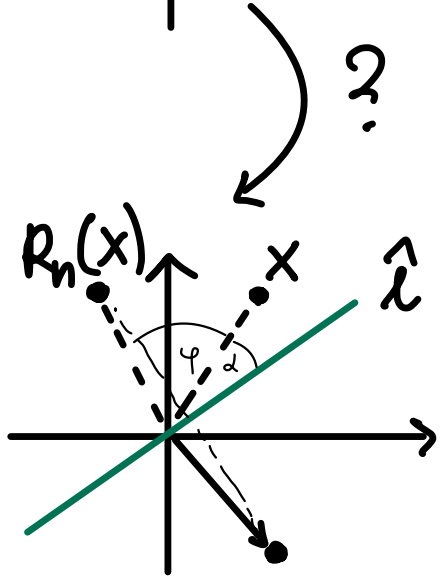
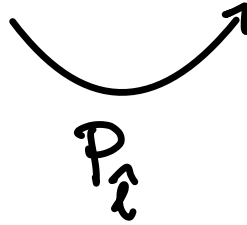
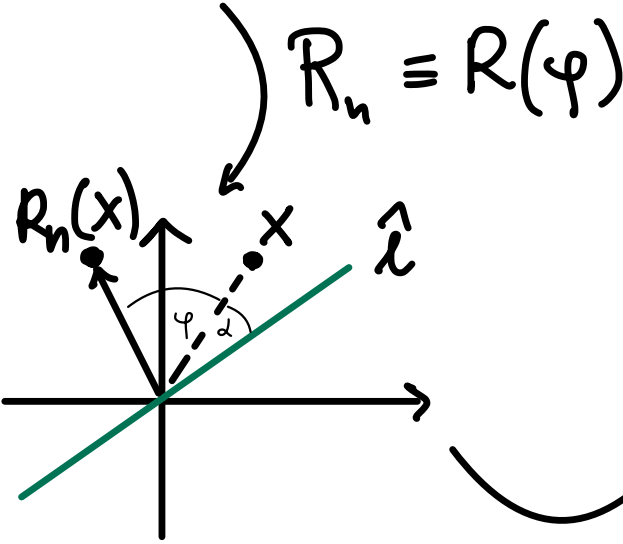
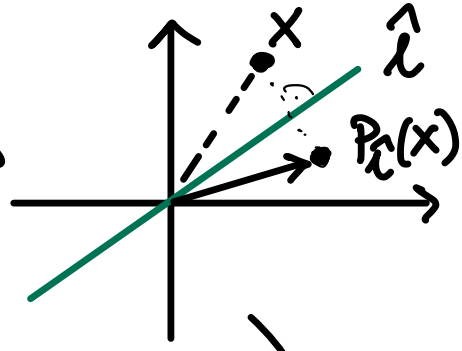
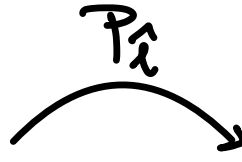
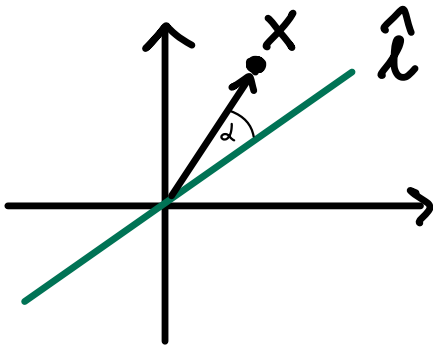
$$P_i R_n P_i^{-1} = P_i R_n P_i = R_n^{-1} = \text{InV}(R_n)$$

PATRZ: SW. 1-2-3.24 ; 1-2-3.25.

PRAWDZIWOSC (RP) DOKUMENTUJE

SEKWENCJA TRANSFORMACJI GEOMETRYCZNYCH

ZOBRAŻOWANA PONIŻEJ:



!!!
 $? \equiv R(-\varphi) = R_n^{-1}.$

□

UWAGA HISTORYCZNA:

GRUPY C_n i D_n o $n \in \{1, 2, 3, 4, 6\}$,

więc NIE C_5 i D_5 , są grupami symetrii permutacji płaszczyzny i jako takie były wykorzystywane przez arabskich ornamentatorów i architektów przy konstrukcji mozaik w budowlach sakralnych i świeckich.

Pojawiają się one także w ornamentyce staroegipskiej (w niej spotykamy de facto wszystkie grupy $E_2(n)$)! (17).

Narządzenia symetrii C_5/D_5 prowadziły nieodmiennie (i nieodzownie!) do mozaik

z defektami: wypełnianymi wstawkami (płytkami) o geometrii odmiennej

od geometrii „komórki Wignera-Seitza”

- powstały w ten sposób tzw. WARIANTY

KOMPROMISOWE.

68

CZAS WRĘCZCIE ZNIEDRZYĆ SIĘ Z WYZNANIEM,
JAKIM JEST KLASYFIKACJA (SKTN WEDŁĘ)
SYMETRII W WYMIARZE $n=3$. TÓ W SWEJ
POSTACI ZUPERNIEJ JEST POZA NASZYM
ZASIĘGIEM - STUDIUM PEŁNEJ LISTY
(219) KLAS RÓWNOWAŻNOŚCI TYCH GRUP,
SPORZĄDZONEJ PRZEZ FEDOROVA I SCHOENFLIESSA,
ZAJĘŁOBY NAM JESZCZE WIELE WYKŁADÓW
ZRESZTĄ TAKIE SZCZEGÓŁOWE STUDIUM
W RAMACH WYKŁADÓW Z PODSTAW
TEORII GRUP WYDAJE SIĘ BEZCELNE
- TĘSO DYSKUSJĘ POZOSTAWIAMY
KRYSTALOGRAFOM, TEORETYKOM
SPEKTROMETRII, CHEMİKOM I IN.
NY NATOMIAST, W RAMACH

ROZSZERZONEJ ILLUSTRACJI ZASTOSOWAŃ
FIZYKALNYCH TEORII GRUP SKOŃCZONYCH,
OGRAŃCZONYM SIĘ DO OPISANIA
SKOŃCZONYCH PODGRUP GRUPY OBROTÓW

$$SO(3) \supset S_3(\lambda)_{(0)} \supset R_3(\lambda)_{(0)}.$$

CZEŚĆ Z NICH MOŻEMY WSKAZAĆ
WPROST NA GRUNCIE DOTYKających
ROZTRZĄSAŃ: SĄ TO GRUPY INDUKCJES
W PEWNYM PŁASZCZYŹNIE OBROTÓW

Z C_n LUB - OGÓLNIEJ - ODWJONOWANA
Z D_n . ISTOTNIE, ROZWAŻMY OBROT

$R(\vec{v}; \varphi)$ O KĄT $\varphi = \frac{2\pi}{n}$ WOKÓŁ OSI

$\langle \vec{v} \rangle_{\mathbb{R}}$. TEN ZAKOŃCZONY OS' I INDUKCJES
WŁAŚNIE ROZPATRYWANY OBROT (70)

$$R_+^{(n)}(\varphi) = \begin{pmatrix} R_n & 0 \\ 0 & 1 \end{pmatrix}. \text{ GENERUJE ON}$$

$$\text{GRUPĘ } C_n' = \{ R_+^{(n)}(\varphi)^k \mid k \in \overline{0, n-1} \}$$

$$\cong C_n \cong \mathbb{Z}_n,$$

KTÓREJ RZĄD PODLEGA OGRANICZENIU
KRYSALOGRAFICZNYM: $n \in \{1, 2, 3, 4, 6\}$.

MAMY TEŻ GRUPĘ ODWZOROWAŃ

$$\text{POSTACI } \begin{pmatrix} g & 0 \\ 0 & 1 \end{pmatrix}, g \in D_n, n \in \{1, 2, 3, 4, 6\},$$

$$\cong C_n \rtimes_2 \mathbb{Z}_2,$$

ZAWIERAJĄCĄ OBOK TYCH C_n'

TAKŻE ICH SUPERPOZYCJE Z ODBICIAMI

$$\text{W } P_{\mathbb{R}^2}, \hat{L} \subset \Pi \equiv \langle \hat{v} \rangle_{\mathbb{R}} \perp \delta_{\mathbb{R}}^{(1,0)}. \quad (7)$$

o przynależności transformacji

$$P_l' = \begin{pmatrix} P_l & 0 \\ 0 & 1 \end{pmatrix} \in C_n \times_d \mathbb{Z}_2$$

do podgrupy własności izometrii \mathbb{R}^3
(czyli obrotów przestrzennych) przesyła
BANALNA OBSERWACJA:

$$P_l' \equiv R(\hat{l}; \pi).$$

Dotychczas z wymiaru pozwala
obrócić Π wokół dowolnej jej
4-wymiarowej podprzestrzeni (afinicznej)!

Pozostaje jeszcze ustalić jawną postać
tych obrotów w D_n' , które powstają
ze składowych C_n z generatorem
 P_l' składowej $\mathbb{Z}_2 \subset D_n'$. TA WYNIKA
BEZPOŚREDNIO z NATURALNEJ INTERPRETACJI (7.2)

Tożsamości

$$\begin{aligned} \begin{pmatrix} 1 & 0 \\ 0 & -1 \end{pmatrix} \begin{pmatrix} \cos \varphi & \sin \varphi \\ -\sin \varphi & \cos \varphi \end{pmatrix} &= \begin{pmatrix} \cos \varphi & \sin \varphi \\ \sin \varphi & -\cos \varphi \end{pmatrix} \\ &\equiv \begin{pmatrix} \cos \frac{\varphi}{2} \cos \frac{\varphi}{2} - \sin \frac{\varphi}{2} \sin \frac{\varphi}{2} & \cos \frac{\varphi}{2} \sin \frac{\varphi}{2} + \sin \frac{\varphi}{2} \cos \frac{\varphi}{2} \\ \cos \frac{\varphi}{2} \sin \frac{\varphi}{2} + \sin \frac{\varphi}{2} \cos \frac{\varphi}{2} & -\sin \frac{\varphi}{2} \sin \frac{\varphi}{2} - \cos \frac{\varphi}{2} \cos \frac{\varphi}{2} \end{pmatrix} \\ &\equiv \begin{pmatrix} \cos \frac{\varphi}{2} & -\sin \frac{\varphi}{2} \\ \sin \frac{\varphi}{2} & \cos \frac{\varphi}{2} \end{pmatrix} \begin{pmatrix} 1 & 0 \\ 0 & -1 \end{pmatrix} \begin{pmatrix} \cos \frac{\varphi}{2} & \sin \frac{\varphi}{2} \\ -\sin \frac{\varphi}{2} & \cos \frac{\varphi}{2} \end{pmatrix} \\ &\equiv R\left(\frac{\varphi}{2}\right)^{-1} P_{Ox} R\left(\frac{\varphi}{2}\right), \end{aligned}$$

która pozwala potrząsać transformacją \square
generowaną przez dowolny taki obrót w \mathbb{R}^3
(reprezentowaną przez wyjściowy iloczyn
macierzy) jako sekwencję transformacji:
przejścia $R\left(\frac{\varphi}{2}\right)$ do układu współrzędnych (73)

O OBRACU OBEŚCOWNYCH WZGL. WYJŚCIOWYCH
O KĄT $\frac{\varphi}{2}$, ODBICIA P_{Ox} W OSI OX

NAWROT UKŁADU WSPÓŁRZĘDNYCH I

POWROTU $R(\frac{\varphi}{2})^{-1} \equiv R(-\frac{\varphi}{2})$ DO WYJŚCIOWEGO

UKŁADU WSPÓŁRZĘDNYCH, WUŻC W SUMIE

... ODBICIA WZGLĘDEM ŚRODKOWEJ
POWOLNEGO } KĄTÓW OBROTU W C_n .

MAJĄ PRZETO

$$P'_{Ox} R_+(\varphi)^k = R_+(\frac{k}{2}\varphi)^{-1} P'_{Ox} R_+(\frac{k}{2}\varphi), \quad k \in \overline{0, n-1}$$

CZYLI n DODATKOWYCH OBROTÓW O π

WOWTĘ TYCZYŃCIE ŚRODKOWYCH DLA n

KĄTÓW $\frac{2\pi}{n} \cdot k$, $k \in \overline{0, n-1}$ W Π (ŚRODKOWE

TWORZĄ KĄTY $\frac{\pi}{n} \cdot k$ Z OSIĄ W Π ,

WZGL. KTÓREJ MIERZONY JEST $\varphi = \frac{2\pi}{n}$). (74)

IDENTYFIKACJA POZOSTAŁYCH PODGRUP
SKONCJONNYCH W $SO(3)$ WYMAGA SZCZĘDLIWEJ
ANALIZY ORBIT ICH DZIAŁANIA, KTÓRĄ
PRZEPROWADZAMY W DOWODZIE

Tw. 7. [KLASYFIKACYJNE DLA PODGRUP
SKONCJONNYCH $SO(3)$]

DOWOLNA SKONCJONNA PODGRUPA GRUPY $SO(3)$

JEST IZOMORFICZNA Z JEDNĄ Z GRUP

PONIŻSZYCH: $C'_m, m \in \mathbb{N}^*$; $D'_n, n \in \mathbb{N}^*$;

T (GRUPA SYMETRII CZWORÓCIANU FOREMNEGO
 \equiv TETRAEDRU); W (GRUPA SYMETRII SZESCIANU,
WIĘC I OŚMIÓCIANU FOREMNEGO \equiv OKTAEDRU);

P (GRUPA SYMETRII DWUNASTOCIANU FOREMNEGO
 \equiv DODEKAEDRU, WIĘC I DWUDZIEŚCIOCIANU
FOREMNEGO \equiv IKOZAEDRU).

D: NIECHAY $\Gamma \subset SO(3)$ BĘDZIE PODGRUPĄ SKOŃCZONĄ I OZNACZMY $|\Gamma| =: N$.

WYBIERZMY OBRÓT $R(\hat{v}; \varphi) \in \Gamma$ RZĘDU n , T.J. OBRÓT O KĄT $\varphi = \frac{2\pi}{n}$ WOKÓŁ PEWNEJ OSI $\langle \hat{v} \rangle_{\mathbb{R}}$, I ROZWAŻMY GRUPĘ

$$C_n(\hat{v}) := \langle R(\hat{v}; \varphi) \rangle \equiv \{ R(\hat{v}; \varphi)^k \}_{k \in \overline{0, n-1}}$$

$$\Gamma \cong \mathbb{Z}_n$$

NA GRUNCIE TW. LAGRANGE'A (COR. 1-2-3.2) WNIOSKUJEMY, ŻE

$$\nu := \frac{N}{n} (\equiv |\Gamma; C_n(\hat{v})|) \in \mathbb{N}^{\times}.$$

NAMY WYNIK NA WARSZTACH

$$\Gamma = \bigsqcup_{i=1}^{\nu} \gamma_i C_n(\hat{v}),$$

W KTÓREGO ZAPISIE $\gamma_i, i \in \overline{1, \nu}$ SĄ PEWNI REPREZENTANTAMI ODPOWIEDZIALNYCH ORBIT DZIAŁANIA +6

Podgrupy $C_n(\vec{v})$ na Γ .

Zauważmy, że zbiór wektorów

$$\{\gamma_i(\vec{v})\}_{i \in \bar{n}} \subset \mathbb{S}^2(\subset \mathbb{R}^3)$$

jest ν -elementowy, tj.

$$\forall i, j \in \bar{n} : (i \neq j \Rightarrow \gamma_i(\vec{v}) \neq \gamma_j(\vec{v})),$$

Bo w przeciwnym razie byłoby

$$\gamma_i^{-1} \cdot \gamma_j \in C_n(\vec{v}). \quad \text{⚡}$$

Stabilizatory tych wektorów (w Γ) są - w świetle słw. 4.5.10 - wzajemnie sprzężone, co dokumentuje tożsamość

$$\gamma_i \circ R(\vec{v}; \varphi) \circ \gamma_i^{-1} = R(\gamma_i(\vec{v}); \varphi), \quad (**)$$

za którą stoi prosta geometryczna (neco ogólniejsza) intuicja:

ROZWAŻMY OBRÓT ZŁOŻONY

$$R(\hat{v}_2; \varphi_2) \circ R(\hat{v}_1; \varphi_1) \circ R(\hat{v}_2; -\varphi_2) =: R_{12}$$

3 PARY OBROTÓW $R(\hat{v}_A; \varphi_A)$, $A \in \{1, 2\}$.

JĘGO OŚMIĄ JĘST $R(\hat{v}_2; \varphi_2)(\hat{v}_1) = \hat{v}_{12}$, CO DOWIEM

$$\begin{aligned} R_{12}(\hat{v}_{12}) &\equiv R(\hat{v}_2; \varphi_2) \circ R(\hat{v}_1; \varphi_1)(\hat{v}_1) \\ &= R(\hat{v}_2; \varphi_2)(\hat{v}_1) = \hat{v}_{12}. \end{aligned}$$

WIEMY ZATEM, ŻE DOWOLNY WEKTOR

$\xi \perp \hat{v}_{12}$ JĘST PRZEZ R_{12} OBRACANY O PEWNEŃ

KĄT φ . IZOMETRIA $R(\hat{v}_2; -\varphi_2)$ ZACHOWUJE ROZKŁAD

$$\mathbb{R}^3 = \langle \hat{v}_{12} \rangle_{\mathbb{R}} \oplus \langle \hat{v}_1 \rangle_{\mathbb{R}}^{\perp}, \text{ ZATEM PRZEMIANNA}$$

ξ W $\tilde{\xi} = R(\hat{v}_2; -\varphi_2)(\xi) \in \langle \hat{v}_1 \rangle_{\mathbb{R}}^{\perp}$, PO CZYM JĘST ON

OBRACANY W $\langle \hat{v}_1 \rangle_{\mathbb{R}}^{\perp}$ O KĄT φ_1 PRZEZ $R(\hat{v}_1; \varphi_1)$,

A NYNIE OBROTU WRAÇA Z $\langle \hat{v}_1 \rangle_{\mathbb{R}}^{\perp}$ DO $\langle \hat{v}_{12} \rangle_{\mathbb{R}}^{\perp}$ (78)

ALB IZOMETRIA ODWROTNA $R(\vec{v}_2; \varphi_2)$ ZACHOWUJE
KĄTY MIĘDZY WEKTORAMI (DANE W TERMINACH
STOSOWNYCH LOGJMYW KWADRYNARYCH),

ZATEM KĄT MIĘDZY $R(\vec{u}_2; \varphi_2)(R(\vec{v}_1; \varphi_1)(\vec{\xi}))$

$$R(\vec{v}_2; \varphi_2)(\vec{\xi}) = R(\vec{v}_2; \varphi_2)(R(\vec{v}_1; -\varphi_1)(\vec{\xi})) \equiv \vec{\xi}$$

JEST TAKI SAM JAK PRZED OBROTEM, WŁC
RÓWNY φ_1 . MAMY WSTĄCIE - Z KONSTRUKCJI

$$R(\vec{u}_2; \varphi_2)(R(\vec{v}_1; \varphi_1)(\vec{\xi})) = R_{12}(\vec{\xi}) = R(\vec{v}_2; \psi)(\vec{\xi}),$$

SKŁAD WNIOSŁE: $\psi \equiv \varphi_1$. OSTATYCZNIE
ZATEM DOSTAJEMY TOŻSAMOŚĆ

$$\begin{aligned} R(\vec{v}_2; \varphi_2) \circ R(\vec{v}_1; \varphi_1) &= R(\vec{v}_2; -\varphi_2) \\ &= R(R(\vec{v}_2; \varphi_2)(\vec{v}_1); \varphi_1), \end{aligned}$$

KTÓRA W PRZYPADKU $R(\vec{v}_2; \varphi_2) = \gamma_i$
ODTWARZA WYJŚCIOWĄ RÓWNOŚĆ (**). (79)

NIEKAJ TERAZ P_i BĘDZIE JEDNYM Z PARY
 PUNKTÓW W $\langle \chi_i(\vec{v}) \rangle_{\mathbb{R}} \cap \mathbb{S}^2 (\subset \underline{\mathbb{R}^3})$
 - NAZWIEMY GO BIEGUNEM $C_n(\vec{v})$,
 ALBO n -BIEGUNEM. MAMY ZATEM
 INTERPRETACJĘ TOŻSAMOŚCI

$$\forall P \in \mathbb{S}^2. n_P\text{-BIEGUN} : N = n_P \cdot \nu_P$$

$$n_P - \text{KROTNOŚĆ } (n_P\text{-}) \text{ BIEGUNA } P : \\ = |\Gamma_P| \equiv |C_{n_P}(\vec{v}_P)|$$

ν_P - MOC Γ -ORBITY P NA \mathbb{S}^2 .

W NASTĘPNEJ KOLEJNOŚCI DOKONAMY
 ZUCZENIA - NA DWA RÓŻNE SPOSOBY -
 PAR (S, P) ZŁOŻONYCH Z BIEGUNEM P
 I OBROTU $\neq \text{id}$ Z Γ ZACHOWUJĄCEGO
 BIEGUN P .

z jednej strony mamy $N-1$ obrotów $\neq \text{id}$ w Γ , a każdy stabilizuje 2 bieguny ($|\langle \vec{v} \rangle_{\mathbb{R}^2} \cap S^2| \equiv 2$),

Zatem $|\{(s, p)\}| = 2 \cdot (N-1)$

z drugiej strony każdemu biegunowi p odpowiada dokładnie $n_p - 1$ obrotów $\neq \text{id}$ (w $\text{Jęp } C_{n_p}(\vec{v}_p)$), które go stabilizują, przeto

$$|\{(s, p)\}| = \sum_{p \in B_{\Gamma}} (n_p - 1),$$

$p \in B_{\Gamma}$ - zbiór biegunów

A ponieważ $Q \sim_{\Gamma} P \Rightarrow \Gamma_Q \cong \Gamma_P$ (na mocy sw. 4-5.10), więc n_p jest stałe na Γ -orbitach, stąd wniosek:

$$|\{(s, p)\}| = \sum_{i \in B_{\Gamma}/\Gamma} v_i (n_i - 1).$$

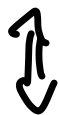
n_i - moc orbity biegunowej

$i \in B_{\Gamma}/\Gamma$ - zbiór Γ -orbit

(81)

PRZY TYM $\forall i \in B_{\Gamma}/\Gamma : v_i \cdot n_i = N$, ZATEM
OSTATECZNIE

$$2(N-1) = \sum_{i \in B_{\Gamma}/\Gamma} v_i (n_i - 1) = N \sum_{i \in B_{\Gamma}/\Gamma} \left(1 - \frac{1}{n_i}\right)$$



$$2 - \frac{2}{N} = \sum_{i \in B_{\Gamma}/\Gamma} \left(1 - \frac{1}{n_i}\right)$$

ROZWAŻYMY MOŻLIWE $\Gamma \neq 1$ (CZYLI $N > 1$),
DLA KTÓREYCH $1 < 2 - \frac{2}{N} < 2$. DLA TAKICH
GRUP $|B_{\Gamma}/\Gamma| \geq 2$, BO $|B_{\Gamma}/\Gamma| = 1$ DAJE

$$\sum_{i \in B_{\Gamma}/\Gamma} \left(1 - \frac{1}{n_i}\right) = 1 - \frac{1}{n_1} < 1, \text{ W SPRZĘCZNOŚCI}$$

3 $2 - \frac{2}{N} > 1$. ↯

PONIEWAŻ PONADTO $\forall i \in B_{\Gamma}/\Gamma : n_i > 1$
(WPROST Z DEFINICJI), PRZEŁO

$|B_r/r| \leq 3$, gdyż $|B_r/r| > 3$ DĄTŁ

$$\sum_{i \in B_r/r} \left(1 - \frac{1}{n_i}\right) = 4 - \frac{1}{n_1} - \frac{1}{n_2} - \frac{1}{n_3} - \frac{1}{n_4} + \Delta$$

$\Delta > 0$ (WŁĄDZY $1 - \frac{1}{n_i} > 0$
OD EW. DODATKOWYCH
 r -ORBIT),

gdy

$$\sum_{i \in B_r/r} \left(1 - \frac{1}{n_i}\right) > 4 - 4 \cdot \frac{1}{2} = 2,$$

w sprzeczności z $2 - \frac{2}{N} < 2$. ⚡

WNIOSUJEMY ZATEM, JŹ

$$\Omega \equiv |B_r/r| \in \{2, 3\}.$$

ROZPATRZYMY PO KOLEI WSZYSTKIE
POJĘTE PRZYPADKI...

1° $\Omega = 2$: MAMY

$$2 - \frac{2}{N} = 1 - \frac{1}{n_1} + 1 - \frac{1}{n_2} = 2 - \frac{1}{n_1} - \frac{1}{n_2}$$

$$2 = v_1 + v_2 \Leftrightarrow v_1 = 1 = v_2$$

i $N = n_1 = n_2$, Tj.

∃ 2 N-BIEGUNY, KAŻDY STABILIZOWANY
PRZEZ $\Gamma \simeq C_N^1$.

2° $\Omega = 3$: MAMY

$$2 - \frac{2}{N} = 1 - \frac{1}{n_1} + 1 - \frac{1}{n_2} + 1 - \frac{1}{n_3} = 3 - \frac{1}{n_1} - \frac{1}{n_2} - \frac{1}{n_3}$$

$$1 + \frac{2}{N} = \frac{1}{n_1} + \frac{1}{n_2} + \frac{1}{n_3}$$

PRZYJMIJMY (BEZ UTRATY OGÓLNOŚCI ROZWAŻAŃ)

PORZĄDEK $n_1 \leq n_2 \leq n_3$.

(84)

OBSERWACJA: $n_1 > 2$ ($\Rightarrow n_1, n_2, n_3 \geq 3$)

IMPLIKACJE $\frac{1}{n_1} + \frac{1}{n_2} + \frac{1}{n_3} \leq 3 \cdot \frac{1}{3} = 1$,

CO JEST SPRZĘCZNE $\{ 1 + \frac{2}{N} > 1 \}$ ⚡

WNIOSEK: $n_1 = 2$ (wszyscy $n_i > 1$)

STAD $\begin{cases} \frac{1}{2} + \frac{2}{N} = \frac{1}{n_2} + \frac{1}{n_3} \\ n_1 = 2 \end{cases}$

OBSERWACJA: $n_2 > 3$ ($\Rightarrow n_2, n_3 \geq 4$)

IMPLIKACJE $\frac{1}{n_2} + \frac{1}{n_3} \leq 2 \cdot \frac{1}{4} = \frac{1}{2}$,

CO JEST SPRZĘCZNE $\{ \frac{1}{2} + \frac{2}{N} > \frac{1}{2} \}$ ⚡

WNIOSEK: $n_2 \in \{2, 3\}$

POZOSTAJE ROZPATRZYĆ PODPRZYPADKI: (85)

2.1° $n_1 = 2 = n_2$:

$$\begin{cases} \frac{1}{n_3} = \frac{2}{N} \\ n_1 = 2 = n_2 \end{cases}$$

$$\Leftrightarrow \begin{cases} N = 2n_3 \\ n_1 = 2 = n_2 \end{cases}, \text{ Tj.}$$

∃ 2 ORBITY 2-BIEGUNOW, KAŻDA MOCY n_3
1 ORBITA n_3 -BIEGUNOW, MOCY 2

$$\Gamma = D_{n_3}' \quad (\text{PATRZ: STR. 73-74})$$

2.2° $n_1 = 2, n_2 = 3$:

$$\frac{1}{n_3} = \frac{1}{6} + \frac{2}{N}, \text{ ALE } n_3 \geq n_2 = 3, \text{ ZATEM}$$

2.2.1° $n_1 = 2, n_2 = 3, n_3 = 3, N = 12, \text{ Tj.}$

∃ 1 ORBITA 2-BIEGUNOW, MOCY 6

2 ORBITY 3-BIEGUNOW, MOCY 4

4 3-BIEGUNY MUSZĄ BYĆ ROZMIESZCZONE

REGULARNIE NA S^2 , ZATEM DEFINIUJĄ
TETRAEDR WPISANY W S^2 . OBROT
RZĘDU 3 STABILIZUJĄCE BIEGUN TO
SYMETRIE TRÓJKĄTNEJ ŚCIANY TETRAEDRU
NAPRZECIWKO TEGO? BIEGUN = WIERZCHOŁU
ANTYPODALNIE WSGŁĘDEM KAŻDEGO, BIEGUN
LEŻY RZUT NA S^2 ŚRODKA ŚCIANY TETRAEDRU
LEżącej NAPRZECIWKO (JW), dopełniający
BIEGUN ANTYPODALNY DO PARY PRZECIĘC
 $\langle \hat{U}_p \rangle_{\mathbb{R}} \cap S^2$.

OBROT RZĘDU 3 (ŚRODKÓW) STABILIZUJĄCE
ŚCIANY TETRAEDRU TO TE SAME OBROT
CO WYŚNIOŁY.

WRÓSZCIE 6 2. BIEGUNÓW TO RZUTY
ŚRODKÓW KRAWĘDZI TETRAEDRU NA S^2 ,
POTĄŻONE W PARY POCHODzące OD
"NAPRZECIWKĘTYCH" KRAWĘDZI (WSPÓLOSIAWE) (87)

OBROTY JE STABILIZUJĄCE TO OBROTY
URAWNIENI O KĄT π WOKRĘ OŚI
PRZECHODZĄCEJ PRZEZ TAŁĄ PARĘ
BIEGUNÓW.

$$\Gamma^2 = I$$

2.2.2° $m_1=2, m_2=3, m_3=4, N=24, T$.

∃ 1 ORBITA 2-BIEGUNÓW, MOCY 12

1 ORBITA 3-BIEGUNÓW, MOCY 8

1 ORBITA 4-BIEGUNÓW, MOCY 6

ROZMIESZCZONE REGULARNIE NA S^2

≡ WIERZCHOŁKI SZÉŚCIANU LUB OKTAEDRU
OPISANEGO NA S^2 WPISANEGO
W

W OPISIE W TERMINACH OKTAEDRU 3-BIEGUNY
REPREZENTUJĄ ŚRODKI JEJÓ ŚCIAN, \textcircled{SP}

A 2-BIEGUNY - ŚRODKI KRAWĘDZI.

$$\Downarrow \\ \Gamma = W$$

2.2.3° $m_1 = 2, m_2 = 3, m_3 = 5, N = 60, \mathbb{Z}$.

∃ 1 ORBITA 2-BIEGUNOW, MOCY 30

1 — 11 — 3 — 11 — 11 — 20

1 — 11 — **5** — 11 — 11 — 12

ROZMIESZCZONE REGULARNIE NA S^2

≡ WIERZCHOŁKI DODEKAEDRU LUB KOZAEDRU
OPISANEGO NA S^2 WPISANEGO
W

W OPISIE W TERMINACH DODEKAEDRU 3-BIEGUNY
REPREZENTUJĄ ŚRODKI JEJEGO ŚCIAN,
A 2-BIEGUNY - ŚRODKI KRAWĘDZI.

$$\Downarrow \\ \Gamma = P \supset C_5!$$

(89)

2.2.4° $m_1=2, m_2=3, m_3 \geq 6$ DANE

$$\frac{2}{N} = \frac{1}{m_3} - \frac{1}{6} \leq \frac{1}{6} - \frac{1}{6} = 0 \quad \text{⚡}$$

□

OBSERWACJA: UWZGLĘDNIENIE OGRANICZENIA
KRYSALOGRAFICZNEGO POZOSTAWIA NAM
GRUPY $C_n^1, n \in \{1, 2, 3, 4, 6\}$; $D_n^1, n \in \{2, 3, 4, 6\}$
ORAZ T ; W JAKO KANDYDATÓW NA
STRUKTURY SYMETRII SKTN. UWZGLĘDNIENIE
SYMETRII ODBICOWEJ I UZGODNIENIE
IZOMETRII I DYSKRETNĄ SYMETRIJĄ
TRANSLACYJNĄ PROWADZI DO PEŁNEJ
KLASYFIKACJI 219 GRUP KRYSALOGRAFICZNYCH
STOWARZYSZONYCH Z 32 GRUPAMI PUNKTOWYMI.
WIĘCEJ O NICH - NA KURSIE KRYSALOGRAFII! (90)